



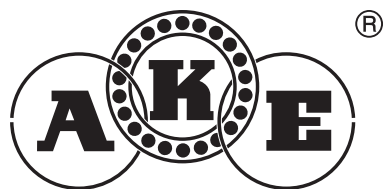
Vysoko presné
ložiská
pre obrábacie
stroje

Katalóg

Super Precision
Bearings
for Machine tools
Catalogue

C_HPB_11_2013

Let's Roll The World



Vysoko presné ložiská pre obrábacie stroje - katalóg

Super Precision Bearings for Machine tools - Catalogue

PREDSLOV

História výroby valivých ložísk AKE siaha až do čias Rakúsko - Uhorskej monarchie. V novšej histórii sa výroba ložísk v rakúskych mestách Steyr a Berndorf postupne začlenila do štruktúr renomovaných svetových výrobcov, a to výroba v Steyri do štruktúr SKF a v Berndorfe do FAG pod názvom Algemeiner Kugellager Vertrieb - AKV, pričom výroba ložísk pod pôvodnou značkou AKE bola zachovaná dodnes.

V roku 1993 spoločnosť IMET a.s. odkúpila firmu AKV-AKE okrem iného aj so zámerom pokračovať vo výrobe a predaji ložísk AKE a pritom nielen zachovať historickú solídnú kvalitu ložísk, ale ju zvyšovať, a to spoluprácavajúc aj s inými renomovanými výrobcami ložísk a ich výskumnými strediskami tak, ako tomu bolo doteraz vždy v histórii výroby ložísk značky AKE.

Dnes sa výroбno-obchodné aktivity sústredia do výrobného závodu AKE Skalica s.r.o. - v bývalom výrobnom závode ZVL Skalica, kde zámerom okrem pokračovania vo výrobe špeciálnych a vysoko-presných ložísk je ponúkať a zabezpečovať komplexný zákaznícky servis a pokračovať v tradíciach ako značky, tak aj bývalého výrobného závodu ZVL Skalica. Pre sortiment valčekových a kuželíkových ložísk AKE využíva v kooperácii bohatú tradíciu výroby bývalého závodu ZKL ložísk vo Vlašime.

INTRODUCTORY REMARKS

History of the AKE, rolling bearing production goes far back, into times of the Austro-Hungarian Empire. Production facilities of rolling bearings in Steyr and Berndorf were later stepwise taken over by the world renowned bearing manufacturer SKF, which has taken over the Steyr production facility, and FAG buying the Berndorf site. Operated under the name Allgemeiner Kugellagervertrieb - AKV they continued in the production of bearings, using the original AKE brand name.

Back in 1993 the AKV-AKE was acquired by company IMET a.s. with an intention to continue with production and sale of the AKE bearings and at that maintaining and further improving the historically proven quality of the bearings production too. This should be achieved through a co-operation with other world renown bearing manufacturers and their research centers, just as it has been before, throughout the entire history of the AKE bearings production.

On the present, production and trading activities are concentrated into the plant AKE Skalica s.r.o. - former plant ZVL Skalica with intention not only to continue with special and super precision bearings manufacturing but also to offer and support complete customer service and to continue with tradition of the trade mark and the plant ZVL Skalica as well.

Rich tradition of production of the former factory of ZKL bearings in Vlašim-CZ is utilized by AKE in cooperation with in the range of Cylindrical and Tapered roller Bearings.

Obsah

1. Jednoradové guľkové ložiská s kosouhlým stykom pre vysokú frekvenciu otáčania

Technická časť

Základná špecifikácia	5
Hlavné rozmery	5
Presnosť	5
Vnútorná vôľa	6
Materiál	6
Označovanie	6
Ložiská zdrúžené do dvojíc	7
Ložiská zdrúžené do trojíc a štvoríc	7
Axiálne predpäťie	8
Medzná frekvencia otáčania	8
Radiálne ekvivalentné dynamické zaťaženie	8
Radiálne ekvivalentné statické zaťaženie	9
Tolerancie pre opracovanie dielov uloženia	9

Systémová časť

Jednoradové guľkové ložiská s kosouhlým stykom pre vysokú frekvenciu otáčania.....	15
Prevodová tabuľka označenia ložísk	19

2. Dvojradové valčekové ložiská

Technická časť

Základná špecifikácia	29
Hlavné rozmery	29
Označovanie	29
Konštrukčné vyhotovenie otvoru vnútorného krúžku.....	29
Presnosť rozmerov a chodu dvojradových valčekových ložísk s kužeľovou dierou	30
Presnosť rozmerov a chodu dvojradových valčekových ložísk s valcovou dierou	31
Stupeň presnosti	32
Radiálna vôľa	32
Spájanie znakov v označení ložísk	33
Vzájomná nezameniteľnosť krúžkov	33
Konštrukčná obmena ložiskových krúžkov	33
Materiál	34
Klietky	34
Naklopiteľnosť	34
Radiálne ekvivalentné dynamické zaťaženie	34
Radiálne ekvivalentné statické zaťaženie	34
Výpočty	34
Otáčky	35
Mazanie	35
Nastavenie vôle resp. predpäťia v ložisku	36
Montáž a demontáž ložísk NN30..K	37
Konštrukcia protikusu	37
Aplikácie ložísk NN30..K	38
Symboly veličín a ich význam	39

Systémová časť

Dvojradové valčekové ložiská	51
Prevodová tabuľka označenia ložísk	52

Contents

1. Single-Row Angular Contact Ball Bearings for high frequency of rotation

Technical section

Main specification	10
Main dimensions	10
Accuracy	10
Inner clearance	11
Material	11
Designation	11
Bearings arranged in pairs	12
Bearings arranged in triples and tetrads	12
Axial preload	13
Speed limit frequency	13
Dynamic equivalent radial load	13
Static equivalent radial load	14
Tolerances for machining of seating parts	14

System section

Single-Row Angular Contact Ball Bearings for high frequency of rotation	15
Conversion table of bearing designation	19

2. Double-Row Cylindrical Roller Bearings

Technical section

Main specification	40
Main dimensions	40
Designation	40
Constructional performance of inner ring bore	40
Dimension and running accuracy of double-row cylindrical roller bearings with tapered bore	41
Dimension and running accuracy of double-row cylindrical roller bearings with cylindrical bore	42
Tolerance Class	43
Radial Clearanc	43
Combination of Symbols	44
Bearing rings non-interchangeability	44
Bearing rings design variation	44
Material	45
Cage	45
Alignment	45
Radial Equivalent Dynamic Load.....	45
Radial Equivalent Static Load	45
Calculations	45
Speed suitability	46
Lubrication	46
Radial clearance or pre-load adjustment	47
Mounting and dismounting of bearings NN30..K	48
Counterpart design	48
Application of bearings NN30..K	49
Symbols meaning	50

System section

Double-Row Cylindrical Roller Bearings	51
Conversion table of bearing designation.....	52



1. Jednoradové guľkové ložiská s kosouhlým stykom pre vysokú frekvenciu otáčania

Single-Row Angular contact Ball Bearings
for high frequency of rotation

A close-up photograph of a single-row angular contact ball bearing. The bearing is made of steel and has a shiny, reflective surface. The text 'B7010CTA P4AUL' is stamped on the inner ring, and 'MADE IN SLOVAKIA' is stamped on the outer ring. The word 'AS' is also visible on the inner ring. The bearing is shown from a side-on perspective, highlighting its deep groove design.

1. Jednoradové guľkové ložiská s kosouhlým stykom pre vysokú frekvenciu otáčania



Technická časť

Jednoradové guľkové ložiská s kosouhlým stykom určené pre vysoké frekvencie otáčania a vysokú presnosť uloženia sa od bežných guľkových ložísk s kosouhlým stykom odlišujú vnútornou konštrukciou ložiskových krúžkov, veľkosťou stykového uhla guľky s obežnými dráhami ložiskových krúžkov, vyhotovením klietky a vysokým stupňom presnosti chodu. Ložiská sú nerozoberateľné a ich vhodným usporiadaním v uložení sa dosiaholo požadovaná tuhosť a presnosť uloženia.

Pre obzvlášť vysoké otáčky s požiadavkou na nízke trenie, nízky vývin tepla v ložisku, čo sa prejaví menším zaťažením mazania a vyššou životnosťou uloženia sa vyrábané ložiská s keramickými guľkami.

AKE dodáva jednoradové guľkové ložiská s uhlom styku $\alpha = 10^\circ$, $\alpha = 12^\circ$, $\alpha = 15^\circ$, $\alpha = 25^\circ$ a $\alpha = 26^\circ$.

Ložiská majú textgumoidovú klietku vedenú vnútorným krúžkom (TB) alebo vonkajším krúžkom (TA). časť sortimentu má masívnu mosadznú klietku vedenú vnútorným krúžkom (MB). Ložiská s uhlom styku $\alpha = 10^\circ$ (označenie B72..CBTB a B72..CBTA) boli konštruované pre uloženie hriadeľa vybrusovacích elektrovretien. Ložiská sú vyrábané v stupni presnosti P4 podľa STN ISO 492 alebo v sprísnenom stupni presnosti P4A (ložiská v presnosti P4A sa v minulosti dodávali s prídavným označením TPF 1148).

Ložiská s uhlom styku $\alpha = 12^\circ$ (označenie B70..CATB a B72..CATB) a s uhlom styku $\alpha = 26^\circ$ (označenie B70..AATB a B72..AATB) boli konštruované pre rotačné uloženia vretien a vreteníkov obrábacích strojov a podobných rýchlobežných zariadení vyžadujúcich vysokú presnosť uloženia. Ložiská sú obvykle vyrobené v stupni presnosti P5, P4 podľa STN ISO 492.

Ložiská s uhlom styku $\alpha = 15^\circ$ (označenie B70..CTA, C B70..CTA, B72..CTA, C B72..CTA) a $\alpha = 25^\circ$ (označenie B70..ATA, C B70..ATA, B72..ATA a C B72..ATA) majú klietku vedenú nesymetrickým vonkajším krúžkom a sú vyrábané v stupni presnosti P4 a P4A.

Rozptyl uhlov $\alpha = 10^\circ$ až $\alpha = 26^\circ$ bol daný požiadavkami odberateľov v priebehu výroby jednoradových guľkových ložísk vo výrobnom závode v Skalici od roku 1960 a zabezpečuje širokú škálu výrobkov z pohľadu funkčných parametrov výrobku a uloženia. Výrobky s uhlom styku $\alpha = 10^\circ$, $\alpha = 12^\circ$ a $\alpha = 26^\circ$ boli v minulosti konštruované pre konkrétné uloženia a dajú sa využiť i v nových uloženiach za predpokladu, že konštrukcia a funkčné parametre výrobku uvedené v rozmerových tabuľkách zodpovedajú požiadavke uloženia hlavne z pohľadu mazania ložísk. Funkčné parametre výrobkov sú uvedené v rozmerových tabuľkách na nasledujúcich stránkach.

Hlavné rozmery

Hlavné a pripojovacie rozmery ložísk uvedené v rozmerových tabuľkách, zodpovedajú medzinárodnému rozmerovému plánu ISO 15.

Presnosť

Jednoradové guľkové ložiská s kosouhlým stykom sa bežne vyrábané v stupni presnosti P5, P4, P2 podľa STN ISO 492. Tolerancie rozmerov a odchýlky funkčných plôch ložísk vyrobených v presnosti P4A udáva tabuľka:

Tolerancie opracovania vonkajších a vnútorných krúžkov vyrobených v presnosti P4A.

Vnútorný krúžok

Menovitý rozmer otvoru vnútorného krúžku „d“			0	10	18	30	50	80	
od	[mm]	do	[mm]	10	18	30	50	80	
Presnosť P4A - hodnoty tolerancii									
Odchýlka priemeru diery	Δd_{mp}	$[\mu\text{m}]$		0-4	0-4	0-5	0-6	0-8	0-10
Tolerancia výšky krúžku	ΔB_s	$[\mu\text{m}]$		-100	-100	-120	-120	-150	-200
Rozptyl výšky krúžku	ΔB_{bs}	$[\mu\text{m}]$		1,5	1,5	1,5	1,5	1,5	2,5
Radiálne hádzanie krúžku	K_{ia}	$[\mu\text{m}]$		1,5	1,5	2,5	2,5	2,5	2,5
Axiálne hádzanie čela krúžku	S_d	$[\mu\text{m}]$		1,5	1,5	1,5	1,5	2,5	2,5
Axiálne hádzanie krúžku	S_{ia}	$[\mu\text{m}]$		1,5	1,5	2,5	2,5	2,5	2,5

Vonkajší krúžok

Menovitý rozmer otvoru vonkajšieho priemeru ložiska „D“			18	30	50	80	120	150	180	
od	[mm]	do	[mm]	30	50	80	120	150	180	
Presnosť P4A - hodnoty tolerancii										
Odchýlka priemeru „D“ ložiska	ΔD_{mp}	$[\mu\text{m}]$		0-5	0-6	0-7	0-8	0-9	0-10	0-11
Rozptyl výšky krúžku	ΔV_{cs}	$[\mu\text{m}]$		1,5	1,5	1,5	2,5	2,5	2,5	4
Radiálne hádzanie krúžku	K_{ea}	$[\mu\text{m}]$		2,5	2,5	4	5	5	5	7
Axiálne hádzanie čela krúžku	S_d	$[\mu\text{m}]$		1,5	1,5	1,5	2,5	2,5	2,5	4
Axiálne hádzanie krúžku	S_{ea}	$[\mu\text{m}]$		2,5	2,5	4	5	5	5	7



1. Jednoradové guľkové ložiská s kosouhlým stykom pre vysokú frekvenciu otáčania

Technická časť

Vnútorná vôľa

Vnútorná vôľa v ložisku musí zabezpečiť požadovaný uhol styku guliek s obežnými dráhami krúžkov.

Materiál

Pre výrobu krúžkov a oceľových guliek sa používa vysoko čistá ložisková oceľ. Keramické guľky sú vyrobené z materiálu Si₃N₄.

Označovanie

Označovanie ložísk v základnom vyhotovení je uvedené v rozmerových tabuľkách. Modifikácia od základného vyhotovenia sa označuje prídavnými znakmi podľa STN 02 4608. Význam jednotlivých znakov pre jednoradové guľkové ložiská s kosouhlým stykom je uvedený v schéme značenia. U ložísk vyrobených v stupni presnosti P4, P4A, P2 a ložísk univerzálnie združených sa na krúžkoch a vonkajšom obale uvedie hodnota ΔD_{mp} (odchýlka stredného vonkajšieho priemeru v jednotlivej radiálnej rovine), Δd_{mp} (odchýlka stredného priemeru diery v jednotlivej radiálnej rovine).

C B 7 0 0 6 C T A P 4 A U L

Materiál (vyznačuje sa iba v prípade, že sa jedná o iný materiál ako je vysoko čistá pretavovaná chromová ložisková oceľ)

C -keramické guľky

Základný konštrukčný znak

- | | |
|---|---|
| A | -symetrický vonkajší krúžok |
| B | -symetrický vnútorný krúžok |
| 7 | -jednoradové guľkové ložisko s kosouhlým stykom |

Rozmerová skupina

- | | |
|----|---------------|
| 19 | -ľahká rada |
| 0 | -stredná rada |
| 2 | -ťažká rada |

Veľkosť ložiska (priemer diery)

7	-7 mm	02	-15 mm
9	-9 mm	03	-17 mm
00	-10 mm	04	-20 mm = 4 x 5
01	-12 mm	05	-25 mm = 5 x 5

Stykový uhol

- | | | | |
|----|------|----|------|
| CB | -10° | A | -25° |
| CA | -12° | AA | -26° |
| C | -15° | | |

Klietka (inú konštrukciu klietky prípadne materiál, ako udáva rozmerová tabuľka, je možné prejednať s výrobcom ložísk)

- | | |
|----|---|
| TA | -klietka textgumoidová vedená vonkajším krúžkom |
| TB | -klietka textgumoidová vedená vnútorným krúžkom |
| MB | -klietka mosadzná vedená vnútorným krúžkom |

Presnosť (stupeň presnosti P2 doporučujeme prejednať s výrobcom ložísk)

- | | |
|-----|---------------------------------|
| P5 | -vyšší stupeň presnosti ako P6 |
| P4 | -vyšší stupeň presnosti ako P5 |
| P4A | -vyšší stupeň presnosti ako P4 |
| P2 | -vyšší stupeň presnosti ako P4A |

Združenie ložísk (iný spôsob združenie, ako udáva nasledujúca strana doporučujeme prejednať s výrobcom ložísk)

- | | |
|-----|---|
| U | -samostatné ložisko pre univerzálnie usporiadanie |
| DU | -dve ložiská v sade pre univerzálnie usporiadanie |
| O | -dve ložiská v sade usporiadane do „O“ |
| X | -dve ložiská v sade usporiadane do „X“ |
| T | -dve ložiská v sade usporiadane do „T“ |
| TO | -tri ložiská v sade usporiadane do „TO“ |
| TOT | -štyri ložiská v sade usporiadane do „TOT“ |

Predpätie

L - ľahké

M - stredné

S - veľké

1. Jednoradové guľkové ložiská s kosouhlým stykom pre vysokú frekvenciu otáčania



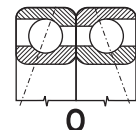
Technická časť

Ložiská združené do dvojíc

Jednoradové guľkové ložiská s kosouhlým stykom pre vysoké frekvencie otáčania sa dodávajú samostatne alebo združené. Jednotlivé spôsoby združovania do dvojíc:

Ložiská združené do dvojíc chrbtami k sebe (O)

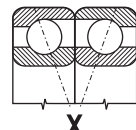
Dvojica sa vyznačuje veľkou tuhosťou voči naklopeniu a môže prenášať axiálne sily v obidvoch smeroch, avšak tieto sily zachytáva vždy len jedno z ložísk. Dvojica je vhodná pre zachytávanie klopných momentov.



O

Ložiská združené do dvojíc čelami k sebe (X)

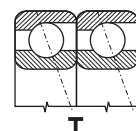
Dvojica sa vyznačuje o niečo menšou tuhosťou voči naklopeniu ako pri usporiadanií do O a schopnosťou prenášať axiálne sily v obidvoch smeroch, avšak tieto sily zachytáva vždy len jedno ložisko z dvojice.



X

Ložiská združené do dvojíc za sebou - tandem (T)

Dvojica sa vyznačuje veľkou tuhosťou a je vhodná pre zachytávanie axiálnych síl pôsobiacich v jednom smere.



T

Ložiská univerzálne združené (U)

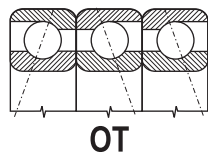
Tieto ložiská sa v uložení spravidla združujú do dvojíc na spôsob „O“, „X“, „T“. Vyrábajú sa s ľahkým predpäťím (UL) alebo so stredným predpäťím (UM). Ložiská sa dodávajú balené po jednom alebo dvoch kusoch. Ďalšie spôsoby je možné dojednať s výrobcom ložísk.

Združená dvojica ložísk sa dodáva v spoločnom balení. Ložiská z rôznych dvojíc nie sú vzájomne zameniteľné. U ložísk stupňa presnosti P4, P4A, P2, sa miesto najväčšieho radiálneho hŕdzania značí ryskou na čele vnútorného krúžku. Vzájomná poloha ložísk voči sebe, resp. poradie združených ložísk je označené zbiehajúcimi sa čiarami v tvaru „V“ na vonkajších valcových plochách združenej zostavy. Údaj o mieste najväčšieho radiálneho hŕdzania slúži k minimalizovaniu vplyvu radiálneho hŕdzania plôch uloženia.

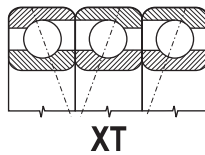
Združené dvojice ložísk v usporiadanií O a X sa dodávajú s axiálnym predpäťím malým (L), stredným (M) alebo veľkým (S), Ložiská univerzálne združené balené po dvoch kusoch (DUL) sú zameniteľné a neznačia sa na povrchu šípkou.

Ložiská združené do trojíc a štvoríc

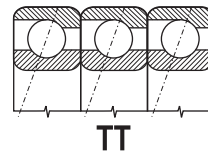
Pre zvláštne prípady presných uložení s požiadavkami na vyššie pevnostné parametre uloženia sa dodávajú jednoradové guľkové ložiská s kosouhlým stykom združené do trojíc alebo štvoríc. Príklady najčastejších spôsobov združovania sú uvedené na obrázku:



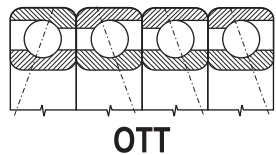
OT



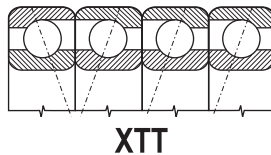
XT



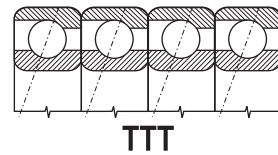
TT



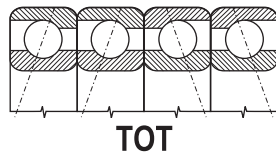
OTT



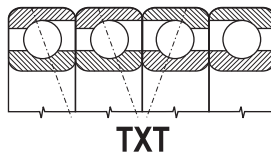
XTT



TTT



TOT



TXT



1. Jednoradové guľkové ložiská s kosouhlým stykom pre vysokú frekvenciu otáčania

Technická časť

Axiálne predpätie

Hodnoty axiálneho predpäťia F_p pri združovaní ložísk sú uvedené v rozmerových tabuľkách.

Hodnoty základnej dynamickej únosnosti C_r a základnej statickej únosnosti C_{or} pre jedno ložisko sú uvedené v rozmerových tabuľkách.

Základná radiálna dynamická únosnosť združenej skupiny ložísk je

$$C_{rs} = C_r \cdot i^{0.7}$$

Základná radiálna statická únosnosť združenej skupiny ložísk je

$$C_{ors} = C_r \cdot i$$

Kde:

C_r a C_{or} - sú hodnoty radiálnych základných únosností v kN príslušného ložiska uvedené v rozmerových tabuľkách,

i - počet združených ložísk v skupine

Medzná frekvencia otáčania

Prevádzkové otáčky uloženia sú okrem konštrukcie a presnosti vyhotovenia ložiska dané i počtom ložísk, ich usporiadaním, energetickými, silovými a geometrickými parametrami uloženia. V rozmerových tabuľkách sú uvedené smerné hodnoty medzíných otáčok pre jedno ložisko. Doporučené otáčky pre združované ložiská sú uvedené v nasledovnej tabuľke: Pre sady ložísk s usporiadaním do „X“, pri väčších vzdialenosťach ložísk od seba je nutné počítať s miernym znížením otáčok, pri usporiadaní „OT“ je predpoklad ich mierneho zvýšenia.

Usporiadanie ložísk	Redukované otáčky „nr“ pre predpätie		
	L	M	S
do dvojíc	nx0,85	nx0,75	nx0,50
do trojíc	nx0,75	nx0,65	nx0,40
do štvoric	nx0,70	nx0,60	nx0,30

n - otáčky z rozmerovej tabuľky

nr - redukované otáčky

Otáčky pre ďalšie usporiadanie doporučujeme odkúšať alebo prejednať s výrobcom ložísk

Radiálne ekvivalentné dynamické zaťaženie

Ložiská s uhlom styku $\alpha=40^\circ$

- jednotlivé ložiská:

$$Pr = Fr$$

pre $Fa/Fr \leq 1,14$

$$Pr = 0,35 + 0,57Fa$$

pre $Fa/Fr > 1,14$

Ložiská s uhlom styku $\alpha=25^\circ$ a 26°

- jednotlivé ložiská a združené dvojice do „T“

$$Pr = Fr$$

pre $Fa/Fr \leq 0,68$

$$Pr = 0,41Fr + 0,87Fa$$

pre $Fa/Fr > 0,68$

- združené dvojice do „O“ a „X“

$$Pr = Fr + 0,92Fa$$

pre $Fa/Fr \leq 0,68$

$$Pr = 0,67 + 1,14Fa$$

pre $Fa/Fr > 0,68$

Ložiská s uhlom styku $\alpha=15^\circ$

- jednotlivé ložiská a združené dvojice do „T“

$$Pr = Fr$$

pre $Fa/Fr \leq e$

$$Pr = 0,41Fr + 0,87Fa$$

pre $Fa/Fr > e$

- združené dvojice do „O“ a „X“

$$Pr = Fr + Y1Fa$$

pre $Fa/Fr \leq e$

$$Pr = 0,72Fr + Y2Fa$$

pre $Fa/Fr > e$

Ložiská s uhlom styku $\alpha=12^\circ$

- jednotlivé ložiská a združené dvojice do „T“

$$Pr = Fr$$

pre $Fa/Fr \leq e$

$$Pr = 0,45Fr + YFaFa$$

pre $Fa/Fr > e$

- združené dvojice do „O“ a „X“

$$Pr = Fr + Y1Fa$$

pre $Fa/Fr \leq e$

$$Pr = 0,74Fr + Y2Fa$$

pre $Fa/Fr > e$

Ložiská s uhlom styku $\alpha=10^\circ$

- jednotlivé ložiská a združené dvojice do „T“

$$Pr = Fr$$

pre $Fa/Fr \leq e$

$$Pr = 0,46Fr + Yfa$$

pre $Fa/Fr > e$

- združené dvojice do „O“ a „X“

$$Pr = Fr + Y1Fa$$

pre $Fa/Fr \leq e$

$$Pr = 0,46Fr + Y2Fa$$

pre $Fa/Fr > e$

1. Jednoradové guľkové ložiská s kosouhlým stykom pre vysokú frekvenciu otáčania



Technická časť

Radiálne ekvivalentné statické zaťaženie

Ložiská s uhlovstom styku $\alpha=40^\circ$

- jednotlivé ložiská:

$$Por = 0,5Fr + 0,26Fa$$

pre $Por \geq 68$

Ložiská s uhlovstom styku $\alpha=25^\circ$ a 26°

- jednotlivé ložiská a združené dvojice do „T“
- združené dvojice do „O“ a „X“

$$Por = 0,5Fr + 0,37Fa$$

pre $Por \geq 68$

- združené dvojice do „O“ a „X“

$$Por = Fr + 0,74Fa$$

Ložiská s uhlovstom styku $\alpha=15^\circ$

- jednotlivé ložiská a združené dvojice do „T“
- združené dvojice do „O“ a „X“

$$Por = 0,5Fr + 0,46Fa$$

pre $Por \geq 68$

- združené dvojice do „O“ a „X“

$$Por = Fr + 0,92Fa$$

Ložiská s uhlovstom styku $\alpha=12^\circ$

- jednotlivé ložiská a združené dvojice do „T“
- združené dvojice do „O“ a „X“

$$Por = 0,5Fr + 0,47Fa$$

pre $Por \geq 68$

- združené dvojice do „O“ a „X“

$$Por = Fr + 0,92Fa$$

Ložiská s uhlovstom styku $\alpha=10^\circ$

- jednotlivé ložiská a združené dvojice do „T“
- združené dvojice do „O“ a „X“

$$Por = 0,6Fr + 0,5Fa$$

pre $Por \geq 68$

- združené dvojice do „O“ a „X“

$$Por = Fr + 0,97Fa$$

Tolerancie pre opracovanie dielov uloženia

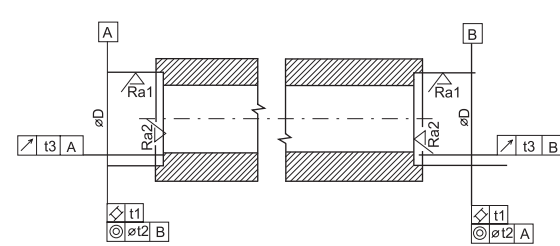
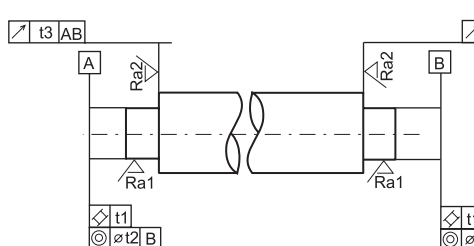
Využitie parametrov vysoko-presných jednoradových guľkových ložísk s kosouhlým stykom je možné iba pri zabezpečení zrovnatelných parametrov funkčných plôch uloženia. Odsúšané a doporučené tolerancie a presnosti tvaru funkčných plôch uloženia sú uvedené v nasledujúcich tabuľkách:

Odchýlka tvaru funkčných plôch a priemeru hriadeľa [μm]

Menovitý priemer hriadeľa	Odchýlka od priemeru hriadeľa	Valcovitost' t1	Súmernosť t2	Hádzanie t3	Ra		
od [mm] do	Presnosť ložiska P5 P4A, P2	Presnosť ložiska P5 P4A, P2	Presnosť ložiska P5 P4A, P2	Presnosť ložiska P5 P4A, P2	Presnosť ložiska P5 P4A, P2		
10	+2 -3	+2 -2	1	0,6	5 3	2,5 1,5	0,2 0,1
18	+2 -4	+2 -3	1	0,6	5 3	2,5 1,5	0,2 0,1
30	+3 -5	+3 -3	1,2	0,7	6 4	3 2	0,2 0,1
50	+3 -5	+3 -4	1,2	0,7	7 4	3,5 2	0,2 0,1
80	+4 -5	+4 -4	1,5	1	8 5	4 2,5	0,2 0,1
120	+4 -7	+4 -6	2	1,2	10 6	5 3	0,4 0,2

Odchýlka tvaru funkčných plôch a priemeru púzdra [μm]

Menovitý priemer púzdra	Odchýlka od priemeru púzdra pevné ložisko voľné ložisko	Valcovitost' t1	Súmernosť t2	Hádzanie t3	Ra			
od [mm] do	Presnosť ložiska P5 P4A, P2	Presnosť ložiska P5 P4A, P2	Presnosť ložiska P5 P4A, P2	Presnosť ložiska P5 P4A, P2	Presnosť ložiska P5 P4A, P2			
18	+4 -4	-4 -2	+11 +2	+8 +2	1,2 0,7	6 4	3 2	0,4 0,2
30	+7 -2	-5 -2	+11 +2	+9 +2	1,2 0,7	7 4	3,5 2	0,4 0,2
50	+9 -2	-6 -2	+12 +2	+10 +2	1,5 1	8 5	4 2,5	0,4 0,2
80	+9 -3	-7 -3	+13 +3	+12 +3	2 1,2	10 6	5 3	0,8 0,4
120	+10 -3	-9 -3	+17 +4	+15 +4	2,5 1,7	12 8	6 4	0,8 0,4
180	+12 -4	+10 -4	+21 +5	+19 +5	3,5 2,2	14 10	7 5	0,8 0,4
250								





1. Single-Row Angular Contact Ball Bearings for high frequency of rotation

Technical section

Single-row angular contact ball bearings for high rotation frequency and high accuracy of seating differ from normal angular contact ball bearings by inner design of bearing rings, by value of contact angle between ball and normal raceways of rings, by workmanship of cage and by high precise tolerance class of running. The bearings are non-separable and their suitable seating arrangement assures required firmness and accuracy of housing.

Bearings with ceramic balls are manufactured for extreme high speed with requirements for low friction and low heat generation in bearing, which gives less lubrication demands and higher lifetime of seating.

The AKE delivers the single-row ball bearings with contact angles of $\alpha = 10^\circ$, $\alpha = 12^\circ$, $\alpha = 15^\circ$, $\alpha = 25^\circ$ and $\alpha = 26^\circ$.

The bearings have special textile cage guided by inner ring (TB) or by outer ring (TA). Part of assortment has the massive brass cage guided by inner ring MB. Bearings with contact angle $\alpha = 10^\circ$ (designation B72..BTB and B72..CBTA) have been designed for shaft support in grinding electro-spindles. The bearings are manufactured in tolerance class P4 according to the STN ISO 492, or in tightened tolerance class P4A (bearings of the P4A tolerance had been formerly delivered with additional TPF 1148 designation).

The bearings with contact angle of $\alpha = 12^\circ$ (designation B70..CATB and B72..CATB) and those with $\alpha = 26^\circ$ (designation B70..AATB and B72..AATB) have been designed for rotation seating of spindles and headstocks of tool machines and similar high-speed machines that require high accuracy of seating. The bearings are normally manufactured in tolerance classes P5 and P4 in accordance with the STN ISO 492.

The bearings with contact angle of $\alpha = 15^\circ$ (designation B70..CTA, C B70..CTA, B72..CTA, C B72..CTA) and those with $\alpha = 25^\circ$ (designation B70..ATA, C B70..ATA, B72..ATA and C B72..ATA) have the cage guided by asymmetric outer ring and they are manufactured in tolerance classes P5 and P4A.

Range of angles from $\alpha = 12^\circ$ to $\alpha = 26^\circ$ was given by customer requirements in a period of production of single-row ball bearings in production plant resident in town of Skalica since the year 1960. This range assures the wide scope of products in terms of functional parameters of product and its seating. Products with contact angle of $\alpha = 10^\circ$, $\alpha = 12^\circ$ and $\alpha = 26^\circ$ were formerly designed for specific seating and they can also be used in new seating provided that the product design and its functional parameters listed in dimension tables meet requirement of seating, first of all in terms of lubrication of bearings.

Functional product parameters are listed in dimension pages.

Main dimensions

The main and connection dimensions of bearings listed in dimension tables meet the international dimensional plan ISO 15.

Accuracy

The single-row angular contact ball bearings are normally manufactured in tolerance classes P5, P4 and P2 according to the STN ISO 492. Tolerances of dimensions and deviancias of functional surfaces for bearings manufactured in tolerance P4A are listed in following table:

Machining tolerances for outer and inner rings manufactured in the P4A class

Inner ring

Nominal dimension of inner bearing bore „d“			0	10	18	30	50	80
from [mm]			10	18	30	50	80	120
P4A tolerance accuracy values „d“								
Deviance of bore diameter	Δd_{mp}	[μm]	0-4	0-4	0-5	0-6	0-8	0-10
Tolerance of ring height	ΔB_s	[μm]	-100	-100	-120	-120	-150	-200
Variance of ring height	$V B_s$	[μm]	1,5	1,5	1,5	1,5	1,5	2,5
Radial run-out of ring	K_{ia}	[μm]	1,5	1,5	2,5	2,5	2,5	2,5
Axial run-out of ring front	S_d	[μm]	1,5	1,5	1,5	1,5	2,5	2,5
Axial run-out of ring	S_{ia}	[μm]	1,5	1,5	2,5	2,5	2,5	2,5

Outer ring

Nominal dimension of outer bearing diameter „D“			18	30	50	80	120	150	180
from [mm]			30	50	80	120	150	180	
P4A tolerance accuracy values									
Deviance of bearing diameter „D“	ΔD_{mp}	[μm]	0-5	0-6	0-7	0-8	0-9	0-10	0-11
Variance of ring height	$V C_s$	[μm]	1,5	1,5	1,5	2,5	2,5	2,5	4
Radial run-out of ring	K_{ea}	[μm]	2,5	2,5	4	5	5	5	7
Axial run-out of ring front	S_D	[μm]	1,5	1,5	1,5	2,5	2,5	2,5	4
Axial run-out of ring	S_{ea}	[μm]	2,5	2,5	4	5	5	5	7

Tolerances of ring heights ΔB_s a ΔC_s are identical

1. Single-Row Angular Contact Ball Bearings for high frequency of rotation



Technical section

Inner clearance

Inner clearance in a bearing must assure the required contact angle between balls and raceways of rings.

Material

High-grade pure and re-melted chromic bearing steel is used for production of rings and steel balls. Ceramic balls are made of material Si₃N₄.

Designation

Designation of bearings of basic workmanship is listed in dimensional tables. Modification of basic type is designated by additional symbols according to the STN 02 4608. Meaning of individual signs for single-row angular contact ball bearings is specified in designation scheme. The values ΔDmp (deviation of middle outer diameter in single radial plane) and Δdmp (deviation of middle bore diameter in single radial plane) are indicated on rings and on outer package at bearings manufactured in tolerance classes P4, P4A and P2 and at universal matched bearings.

C	B	7	0	0	6	C	T	A	P	4	A	U	L
Material (is displayed only in case when other material than high-grade pure and re-melted chromic bearing steel is used)													
						C							-ceramic balls
													Basic design letter
						A							-outer symmetrical ring
						B							-inner symmetrical ring
						7							-single-row angular contact ball bearings
													Dimension group
						19							-light class
						0							-middle class
						2							-heavy class
													Size of bearing (bore diameter)
						7							7 -7 mm 02 -15 mm
						9							9 -9 mm 03 -17 mm
						00							00 -10 mm 04 -20 mm = 4 x 5
						01							01 -12 mm 05 -25 mm = 5 x 5
													Contact angle
						CB							CB -10° A -25°
						CA							CA -12° AA -26°
						C							C -15°
													Cage (other cage construction or material than indicated in the table is possible to discuss with manufacturer of bearings)
						TA							TA -cage made of special textile guided on outer ring
						TB							TB -cage made of special textile guided on inner ring
						MB							MB -cage made of brass guided on inner ring
													Tolerance (the tolerance class P2 is recommended to discuss with manufacturer of bearings)
						P5							-tolerance class higher than the P6
						P4							-tolerance class higher than the P5
						P4A							-tolerance class higher than the P4
						P2							-tolerance class higher than the P4A
													Arrangement of bearings (other matching style than indicated in the following page we recommend to discuss with manufacturer of bearings)
						U							U -single bearing for universal arrangement
						DU							DU -two bearings in one set for universal arrangement
						O							O -set of 2 bearings in „O“ arrangement
						X							X -set of 2 bearings in „X“ arrangement
						T							T -set of 2 bearings in „T“ arrangement
						TO							TO -set of 3 bearings in „TO“ arrangement
						TOT							TOT -set of 4 bearings in „TOT“ arrangement
													Preload
													L -light M -medium S -heavy

1. Single-Row Angular Contact Ball Bearings for high frequency of rotation

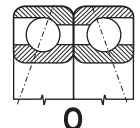
Technical section

Bearings arranged in pairs

Single-row angular contact ball bearings intended for high-speed rotation are delivered as single or paired mounting. Individual systems of pair mounting are as follows:

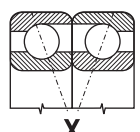
Back-to-back arrangement (O)

This pair is characterised by strong firmness with respect to tilt and can transfer axial forces in both directions. But these forces are always absorbed by one bearing only. The pair is suitable for elimination of tilt moments.



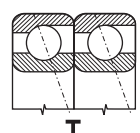
Face-to-face arrangement (X)

This pair is characterised by a bit lesser tilt firmness as in case of „O“ arrangement and it can transfer axial forces in both directions. But these forces are always absorbed by one bearing only.



Tandem arrangement (T)

This pair is characterised by strong firmness and it is suitable for absorbing of axial forces acting in one direction.



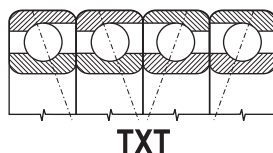
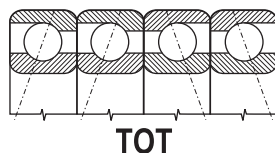
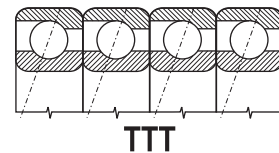
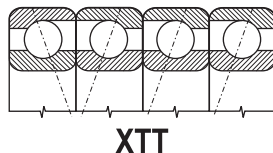
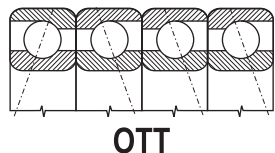
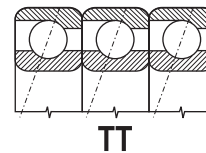
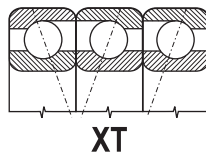
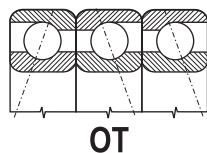
Universal arrangement (U)

These bearings are normally arranged in paired mounting „O“, „X“ and „T“. They are manufactured with slight preload (UL) or with middle preload (UM). The bearings are delivered in packing by singles or by pairs. Other packing ways can be agreed with producer of bearings. Paired mounting of bearings is delivered in one package. Bearings of different pairs can not be interchanged. The area of the most radial run-out of the bearings within the tolerance classes P4, P4A, P2 is marked by line on front faces of inner rings. Mutual position of bearings or the sequence of paired bearings is marked by convergent lines of „V“ shape on outer roller faces of paired mounting. Marking of most radial runout serves for minimizing of effects of radial runout of seating faces.

Paired mounting of bearings, arranged in „O“ or „X“ are delivered with low (L), middle (M) or high (S) axial preload. Universal paired bearings, packed by two pieces (DUL) are interchangeable and they are not marked by arrow on the face.

Bearings arranged in triples and tetrads

Single-row angular contact ball bearings are delivered arranged in triples or tetrads in special cases of precise seating with requirements for higher strength parameters of seating. Examples of most frequent ways of arrangements are shown in following picture:



1. Single-Row Angular Contact Ball Bearings for high frequency of rotation



Technical section

Axial preload

Values of axial preload F_p for arrangement of bearings are listed in dimension tables.

Values of dynamic basic load rating C_r and static basic load rating C_{or} for single bearing are listed in dimension tables.

Dynamic basic radial load rating of matched group of bearings C_{rs} is as follows

$$C_{rs} = C_r \cdot i^{0.7}$$

Static basic radial load rating matched group of bearings C_{ors} is as follows

$$C_{ors} = C_r \cdot i$$

Where:

C_r and C_{or} - are values of radial basic load ratings in kN of relevant bearing listed in dimension tables

i - number of matched bearings within the group

Speed limit frequency

Operational revolutions of seating are also given, besides bearing construction and its workmanship accuracy, by number of bearings and their arrangement, and by energetic, power and geometric parameters of seating. Pilot values of limit speed for single bearing are listed in dimension tables. Recommended speed for paired mounting are listed in following table: For pairs arranged in „X“ at greater mutual distance of bearings there is necessary to take account of slight speed reduction; for pairs arranged in „OT“ there is assumption of slight increase of speed.

Arrangement of bearings	Speed „nr“ for preload		
	L	M	S
In pairs	nx0,85	nx0,75	nx0,50
In triples	nx0,75	nx0,65	nx0,40
In tetrads	nx0,70	nx0,60	nx0,30

n - speed listed in dimension table

nr - reduced speed

Speed for another arrangements must be tested of discussed with producer of bearings.

Dynamic equivalent radial load

Bearings with contact angle $\alpha=40^\circ$

- single bearings:

$$P_r = F_r$$

for $F_a/F_r \leq 1,14$

$$P_r = 0,35 + 0,57F_a$$

for $F_a/F_r > 1,14$

Bearings with contact angle $\alpha=25^\circ$ and $\alpha=26^\circ$

- single bearings and pairs arranged in „T“

$$P_r = F_r$$

for $F_a/F_r \leq 0,68$

$$P_r = 0,41F_r + 0,87F_a$$

for $F_a/F_r > 0,68$

- paired mounting arranged in „O“ a „X“

$$P_r = F_r + 0,92F_a$$

for $F_a/F_r \leq 0,68$

$$P_r = 0,67 + 1,14F_a$$

for $F_a/F_r > 0,68$

Bearings with contact angle $\alpha=15^\circ$

- single bearings and pairs arranged in „T“

$$P_r = F_r$$

for $F_a/F_r \leq e$

$$P_r = 0,41F_r + 0,87F_a$$

for $F_a/F_r > e$

- paired mounting arranged in „O“ a „X“

$$P_r = F_r + Y1F_a$$

for $F_a/F_r \leq e$

$$P_r = 0,72F_r + Y2F_a$$

for $F_a/F_r > e$

Bearings with contact angle $\alpha=2^\circ$

- single bearings and pairs arranged in „T“

$$P_r = F_r$$

for $F_a/F_r \leq e$

$$P_r = 0,45F_r + YFaF_a$$

for $F_a/F_r > e$

- paired mounting arranged in „O“ a „X“

$$P_r = F_r + Y1F_a$$

for $F_a/F_r \leq e$

$$P_r = 0,74F_r + Y2F_a$$

for $F_a/F_r > e$

Bearings with contact angle $\alpha=10^\circ$

- single bearings and pairs arranged in „T“

$$P_r = F_r$$

for $F_a/F_r \leq e$

$$P_r = 0,46F_r + Yfa$$

for $F_a/F_r > e$

- paired mounting arranged in „O“ and „X“

$$P_r = F_r + Y1F_a$$

for $F_a/F_r \leq e$

$$P_r = 0,46F_r + Y2F_a$$

for $F_a/F_r > e$



1. Single-Row Angular Contact Ball Bearings for high frequency of rotation

Technical section

Static equivalent radial load

Bearings with contact angle $\alpha=40^\circ$

- single bearings

$$P_{\text{eq}} = 0,5F_r + 0,26F_a$$

for $P_{\text{eq}} \geq F_r$

Bearings with contact angle $\alpha=25^\circ$ and 26°

- single bearings arranged in „T“ pair

$$P_{\text{eq}} = 0,5F_r + 0,37F_a$$

for $P_{\text{eq}} \geq F_r$

- paired mounting arranged in „O“ and „X“

$$P_{\text{eq}} = F_r + 0,74F_a$$

Bearings with contact angle $\alpha=15^\circ$

- single bearings and pairs arranged in „T“

$$P_{\text{eq}} = 0,5F_r + 0,46F_a$$

for $P_{\text{eq}} \geq F_r$

- paired mounting arranged in „O“ and „X“

$$P_{\text{eq}} = F_r + 0,92F_a$$

Bearings with contact angle $\alpha=12^\circ$

- single bearings and pairs arranged in „T“

$$P_{\text{eq}} = 0,5F_r + 0,47F_a$$

for $P_{\text{eq}} \geq F_r$

- paired mounting arranged in „O“ and „X“

$$P_{\text{eq}} = F_r + 0,92F_a$$

Bearings with contact angle $\alpha=10^\circ$

- single bearings and pairs arranged in „T“

$$P_{\text{eq}} = 0,6F_r + 0,5F_a$$

for $P_{\text{eq}} \geq F_r$

- paired mounting arranged in „O“ and „X“

$$P_{\text{eq}} = F_r + 0,97F_a$$

Tolerances for machining of seating parts

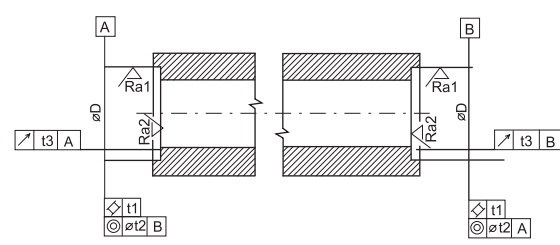
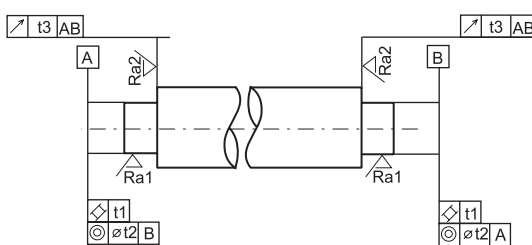
Usage of parameters of high-precise single-row angular contact ball bearings is possible only while the seating functional faces have comparable parameters. Tested and recommended tolerances and accuracy values of seating functional faces are listed in following tables.

Shape deviations of functional faces and diameter of shaft [μm]

Nominal diameter of shaft from [mm] to	Deviation from shaft diameter		Cylindrical form t1		Symmetry t2		Runout t3		Ra
	Accuracy of bearing P5	P4A, P2	Accuracy of bearing P5	P4A, P2	Accuracy of bearing P5	P4A, P2	Accuracy of bearing P5	P4A, P2	Accuracy of bearing P5 P4A, P2
10	+2 -3	+2 -2	1	0,6	5	3	2,5	1,5	0,2 0,1
10 18	+2 -4	+2 -3	1	0,6	5	3	2,5	1,5	0,2 0,1
18 30	+3 -5	+3 -3	1,2	0,7	6	4	3	2	0,2 0,1
30 50	+3 -5	+3 -4	1,2	0,7	7	4	3,5	2	0,2 0,1
50 80	+4 -5	+4 -4	1,5	1	8	5	4	2,5	0,2 0,1
80 120	+4 -7	+4 -6	2	1,2	10	6	5	3	0,4 0,2

Shape deviations of functional faces and diameter of sleeve [μm]

Nominal diameter of sleeve from [mm] to	Deviation from sleeve diameter fixed bearing floating bearing		Cylindrical form t1		Symmetry t2		Runout t3		Ra
	Accuracy of bearing P5	P4A, P2	Accuracy of bearing P5	P4A, P2	Accuracy of bearing P5	P4A, P2	Accuracy of bearing P5	P4A, P2	Accuracy of bearing P5 P4A, P2
18 30	+4 -4	-4 -2	+11 +2	+8 +2	1,2	0,7	6	4	0,4 0,2
30 50	+7 -2	-5 -2	+11 +2	+9 +2	1,2	0,7	7	4	0,4 0,2
50 80	+9 -2	-6 -2	+12 +2	+10 +2	1,5	1	8	5	0,4 0,2
80 120	+9 -3	-7 -3	+13 +3	+12 +3	2	1,2	10	6	0,8 0,4
120 180	+10 -3	-9 -3	+17 +4	+15 +4	2,5	1,7	12	8	0,8 0,4
180 250	+12 -4	+10 -4	+21 +5	+19 +5	3,5	2,2	14	10	0,8 0,4



1. Jednoradové guľkové ložiská s kosouhlým stykom

pre vysokú frekvenciu otáčania

Single-Row Angular Contact Ball Bearings for high frequency of rotation



Prevodová tabuľka označenia ložísk / Conversion table of bearing designation:

AKE označenie / designation	FAG označenie / designation	SKF označenie / designation	TIMKEN označenie / designation	NSK označenie / designation	GOST norma / standard
B7002CTA P4AUL	B7002CTP4SUL	7002CDP4AA	2MM9102WICRSUL	7002CTRSULP3	104-36102K6EY*
B7003CTA P4AOL	B7003CTP4SDBL	7003CDP4ADBA	2MM9103WICRDBL	7003CTRDBLP3	104-236103K6E*
B7003CTA P4AT	B7003CTP4SDT	7003CDP4ADT	2MM9103WICRDT	7003CTRDTLP3	4-436103K6E*
B7003CTA P4AUL	B7003CTP4SUL	7003CDP4AA	2MM9103WICRSUL	7003CTRSULP3	104-36103K6EY*
B7004CTA P4AOL	B7004CTP4SDBL	7004CDP4ADBA	2MM9104WICRDBL	7004CTRDBLP3	104-236104K6E*
B7004CTA P4AT	B7004CTP4SDT	7004CDP4ADT	2MM9104WICRDT	7004CTRDTLP3	4-436104K6E*
B7004CTA P4AUL	B7004CTP4SUL	7004CDP4AA	2MM9104WICRSUL	7004CTRSULP3	104-36104K6EY*
B7004ATA P4AUL	B7004ETP4SUL	7004AC/HCDGA P4A	3MMC9104WICRSUL	7004A5SN24TRSULP3	104-46104K6EYЯ
B7004CTA P4AUL	B7004CTP4SUL	7004CD/HCGA P4A	2MMC9113WICRSUL	7004CSN24TRSULP3	104-36104K6EYЯ
B7005CTA P4A	B7005CTP4S	7005CDP4A	2MM9105WICR	7005CTRP3	4-36105K6E*
B7005CTA P4AT	B7005CTP4SDT	7005CDP4ADT	2MM9105WICRDT	7005CTRDTLP3	4-436105K6E*
B7005CTA P4AUL	B7005CTP4SUL	7005CDP4AA	2MM9105WICRSUL	7005CTRSULP3	104-36105K6EY*
B7006CTA P4A	B7006CTP4S	7006CDP4A	2MM9106WICR	7006CTRP3	4-36106K6E*
B7006CTA P4AOL	B7006CTP4SDBL	7006CDP4ADBA	2MM9106WICRDBL	7006CTRDBLP3	104-236106K6E*
B7006CTA P4AT	B7006CTP4SDT	7006CDP4ADT	2MM9106WICRDT	7006CTRDTLP3	4-436106K6E*
B7006CTA P4UL	B7006CTP4SUL	7006CDP4AA	2MM9106WICRSUL	7006CTRSULP3	104-36106K6EY
B7006CTA P4AUM	B7006CTP4SUM	7006CDP4AB	2MM9106WICRSUM	7006CTRSUMP3	204-36106K6EY*
B7007CTA P4A	B7007CTP4S	7007CDP4A	2MM9107WICR	7007CTRP3	4-36107K6E*
B7007CTA P4AOL	B7007CTP4SDBL	7007CDP4ADBA	2MM9107WICRDBL	7007CTRDBLP3	104-236107K6E*
B7007CTA P4AT	B7007CTP4SDT	7007CDP4ADT	2MM9107WICRDT	7007CTRDTLP3	4-436107K6E*
B7007CTA P4AUL	B7007CTP4SUL	7007CDP4AA	2MM9107WICRSUL	7007CTRSULP3	104-36107K6EY*
B7007CTA P5	B7007CTP5	7007CD P5	2MM9107WICRSUL	7007CTRP5	5-36107K6E
B7008CTA P4AUL	B7008CTP4SUL	7008CDP4AA	2MM9108WICRSUL	7008CTRSULP3	104-36108K6EY*
B71909CTA P4AUL	B71909CTP4SUL	7909CDP4AA	2MM9309WICRSUL	71909CTRSULP3	104-36909K6EY
B71909ATA P4AUL	B71909ETP4SUL	71909ACDP4AA	3MM9309WICRSUL	71909A5TRSULP3	104-46909EY
B7009CTA P4AOL	B7009CTP4SDBL	7009CDP4ADBA	2MM9109WICRDBL	7009CTRDBLP3	104-236108K6E*
B7009CTA P4AT	B7009CTP4SDT	7009CDP4ADT	2MM9109WICRDT	7009CTRDTLP3	4-436109K6E*
B7009CTA P4UL	B7009CTP4SUL	7009CDP4AA	2MM9109WICRSUL	7009CTRSULP3	104-36109K6EY
B7010AATB P4	-	-	-	-	
B7010AATB P4OL	-	-	-	-	
B7010AATB P4TOTL	-	-	-	-	
B7010AATB P5	-	-	-	-	
B7010ATA P4A	B7010ETP4S	7010ACDP4A	3MM9110WICR	7010A5TRP3	4-46110E*
B7010CTA P4A	B7010CTP4S	7010CDP4A	2MM9110WICR	7010CTRP3	4-36110K6E*
B7010CTA P4AUL	B7010CTP4SUL	7010CDP4AA	2MM9110WICRSUL	7010CTRSULP3	104-36110K6EY*
B7011AATB P4	-	-	-	-	
B7011AATB P4OL	-	-	-	-	
B7011AATB P4OM	-	-	-	-	
B7011AATB P4T	-	-	-	-	
B7011AATB P4XM	-	-	-	-	
B7011AATB P5	-	-	-	-	
B7011AATB P5OL	-	-	-	-	
B7011ATA P4AUL	B7011ETP4SUL	7011ACDP4AA	3MM9111WICRSUL	7011A5TRSULP3	104-46111EY*
B7011CTA P4AUL	B7011CTP4SUL	7011CDP4AA	2MM9111WICRSUL	7011CTRSULP3	104-36111K6EY*
B7012ATA P4A	B7012ETP4S	7012ACDP4A	3MM9112WICR	7012A5TRP3	4-46112E*
B7012ATA P4AUL	B7012ETP4SUL	7012ACDP4AA	3MM9112WICRSUL	7012A5TRSULP3	104-46112EY*
B7012CTA P4AUL	B7012CTP4SUL	7012CDP4AA	2MM9112WICRSUL	7012CTRSULP3	104-36112K6EY*
B7013ATA P4AUL	B7013ETP4SUL	7013ACDGA P4A	3MM9113WICRSUL	7013A5TRSULP3	104-46113EY
B7013CTA P4AUL	B7013CTP4SUL	7013CDGA P4A	2MM9113WICRSUL	7013CTRSULP3	104-36113K6EY
B71914ATA P4AUL	B71914ETP4SUL	71914ACDGA P4A	3MM9314WICRSUL	71914A5TRSULP3	104-46914EY
B71914CTA P4AUL	B71914CTP4SUL	71914CDGA P4A	2MM9314WICRSUL	71914CTRSULP3	104-36914K6EY
B7014AATB P4TOTL	-	-	-	-	
B7014AATB P4	-	-	-	-	
B7014AATB P4AOL	-	-	-	-	*
B7014AATB P4ATOTL	-	-	-	-	
B7014AATB P4OL	-	-	-	-	



1. Jednoradové guľkové ložiská s kosouhlým stykom

pre vysokú frekvenciu otáčania

Single-Row Angular Contact Ball Bearings for high frequency of rotation

Prevodová tabuľka označenia ložísk / Conversion table of bearing designation:

AKE označenie / designation	FAG označenie / designation	SKF označenie / designation	TIMKEN označenie / designation	NSK označenie / designation	GOST norma / standard
B7014AATB P4OM	-	-		-	
B7014AATB P4OTM	-	-		-	
B7014AATB P4T	-	-		-	
B7014AATB P4TXTL	-	-		-	
B7014AATB P5	-	-		-	
B7014AATB P5OL	-	-		-	
B7014AATB P5OM	-	-		-	
B7014AATB P5T	-	-		-	
B7014AATB P5XM	-	-		-	
B7014ATA P4AUL	B7014ETP4SUL	7014ACDGA P4A	3MM9114WICRSUL	7014A5TRSULP3	104-46114EY
B7014CTA P4AUL	B7014CTP4SUL	7014CDGA P4A	2MM9114WICRSUL	7014CTRSULP3	104-36114K6EY
B71915ATA P4AUL	B71915ETP4SUL	71915ACDGA P4A	3MM9315WICRSUL	71915A5TRSULP3	104-46915EY
B71915CTA P4AUL	B71915CTP4SUL	71915CDGA P4A	2MM9315WICRSUL	71915CTRSULP3	104-36915K6EY
B71916ATA P4AUL	B71916ETP4SUL	71916ACDGA P4A	3MM9316WICRSUL	71916A5TRSULP3	104-46916EY
B71916CTA P4AUL	B71916CTP4SUL	71916CDGA P4A	2MM9316WICRSUL	71916CTRSULP3	104-36916K6EY
B7016AATB P4	-	-		-	
B7016AATB P4	-	-		-	
B7016AATB P4AOL	-	-		-	*
B7016AATB P4OL	-	-		-	
B7016AATB P4OO	-	-		-	**
B7016AATB P4XL	-	-		-	
B7016AATB P5	-	-		-	
B7016AATB P5OL	-	-		-	
B7016AATB P5XL	-	-		-	
B7016CATB P4	-	-		-	4-36116E
B7016CATB P4OO	-	-		-	**
B7016CATB P4T	-	-		-	4-436116E
B7016CATB P5	-	-		-	5-36116E
B7016CATB P5OL	-	-		-	105-236116E
B7016CATB P5OTL	-	-		-	105-836116E
B7017AAMB P5	-	-		-	5-46117Л
B7017AAMB P6 TPX	-	-		-	6-46117Л
B7017AATA P4	-	-		-	4-46117E
B7017AATA P4OL	-	-		-	104-246117E
B7017AATA P4OTL	-	-		-	104-846117E
B7017ATA P4AUL	B7017ETP4SUL	7017ACDP4AA	3MM9117WICRSUL	7017A5TRSULP3	104-46117EY*
B7018AATB P4	-	-		-	
B7018AATB P4OTL	-	-		-	
B7018AATB P5	-	-		-	
B7018AATB P5OL	-	-		-	
B7018AATB P5OTL	-	-		-	
B7018ATA P4A	B7018ETP4S	7018ACDP4A	3MM9118WICR	7018A5TRP3	4-46118E*
B7018ATA P4AUL	B7018ETP4SUL	7018ACDP4AA	3MM9118WICRSUL	7018A5TRSULP3	104-46118EY*
B7018ATA P4OTL	B7018ETP4STBTL	7018ACDP4ATBTA	3MM9118WICRTBTL	7018A5TRDBDLP3	104-846118E
B7018CATB P4	-	-		-	4-36118E
B7018CATB P4OM	-	-		-	204-236118E
B7018CATB P4UL	-	-		-	104-36118EY
B7018CATB P5	-	-		-	5-36118E
B7018CATB P5OM	-	-		-	205-236118E
B7018CATB P5XM	-	-		-	205-336118E
B7018CATB P5XS	-	-		-	305-336118E
B71920ATA P4AUL	B71920ETP4SUL	71920ACDGA P4A	3MM9320WICRSUL	71920A5TRSULP3	104-46920EY
B71920CTA P4AUL	B71920CTP4SUL	71920CDGA P4A	2MM9320WICRSUL	71920CTRSULP3	104-36920K6EY
B7020ATA P4A	B7020ETP4S	7020ACDP4A	3MM9120WICR	7020A5TRP3	4-46120E*
B7020ATA P4AUL	B7020ETP4SUL	7020ACDP4AA	3MM9120WICRSUL	7020A5TRSULP3	104-46120EY*
B7020ATA P4AUM	B7020ETP4SUM	7020ACDP4AB	3MM9120WICRSUM	7020A5TRSUMP3	204-46120EY*

**1. Jednoradové guľkové ložiská s kosouhlým stykom
pre vysokú frekvenciu otáčania**



Single-Row Angular Contact Ball Bearings for high frequency of rotation

Prevodová tabuľka označenia ložísk / Conversion table of bearing designation:

AKE označenie / designation	FAG označenie / designation	SKF označenie / designation	TIMKEN označenie / designation	NSK označenie / designation	GOST norma / standard
B7020ATA P5	-	-			5-46120E
B71924ATA P4AUL	B71924ETP4SUL	71924ACDGA P4A	3MM9324WICRSUL	71924A5TRSULP3	104-46924EY
B71924CTA P4AUL	B71924CTP4SUL	71924CDGA P4A	2MM9324WICRSUL	71924CTRSULP3	104-36924K6EY
B7024AATB P4	-	-		-	
B7024AATB P4OTL	-	-		-	
B7024AATB P5	-	-		-	
B7024AATB P5OTL	-	-		-	
B7024ATA P4AOTL	B7024ETP4STBTL	7024ACDP4ATBTA	3MM9124WICRTBTL	7024A5TRDBDLP3	104-846124E
B7024CATB P5	-	-		-	5-36124E
A727CBTA P4					4-36027K7E
A729CBTA P4					4-36029K7E
B7200CATB P4	-	-		-	4-36200E
B7200CATB P5	-	-		-	5-36200E
B7200CATB P5OM	-	-		-	205-236200E
B7200CBTB P4	-	-		-	
B7200CBTB P4OM	-	-		-	
B7200CBTB P4T	-	-		-	
B7200ATA P4AUL	B7200ETP4SUL	7200ACDP4AA	3MM200WICRSUL	7200A5TRSULP3	104-46200KEY*
B7200CTA P4AUL	B7200CTP4SUL	7200CDP4AA	2MM200WICRSUL	7200CTRSULP3	104-36200K6EY*
B7200CTA P4AUM	B7200CTP4SUM	7200CDP4AB	2MM200WICRSUM	7200CTRSUMP3	204-36200K6EY*
A7201ATA P4	-	-		-	4-46201K7E
A7201ATA P4AUL					104-46201K7EY*
B7201CATB P4	-	-		-	4-36201E
B7201CATB P4OL	-	-		-	104-236201E
B7201CATB P4OM	-	-		-	204-236201E
B7201CATB P5	-	-		-	5-36201E
B7201CATB P5OM	-	-		-	205-236201E
B7201CBTB P4	-	-		-	
B7201CBTB P4OM	-	-		-	
B7201CBTB P4T	-	-		-	
B7201ATA P4AUL	B7201ETP4SUL	7201ACDP4AA	3MM201WICRSUL	7201A5TRSULP3	104-46201KEY*
B7201CTA P4AUL	B7201CTP4SUL	7201CDP4AA	2MM201WICRSUL	7201CTRSULP3	104-36201K6EY*
B7201CTA P4AUM	B7201CTP4SUM	7201CDP4AB	2MM201WICRSUM	7201CTRSUMP3	204-36201K6EY*
B7202CATB P4	-	-		-	4-36202E
B7202CATB P4OL	-	-		-	104-236202E
B7202CATB P4OM	-	-		-	204-236202E
B7202CATB P5	-	-		-	5-36202E
B7202CATB P5OL	-	-		-	105-236202E
B7202CATB P5OM	-	-		-	205-236202E
B7202CATB P5T	-	-		-	5-436202E
B7202CBTB P4	-	-		-	
B7202CBTB P4OL	-	-		-	
B7202CBTB P4OM	-	-		-	
B7202CBTB P4T	-	-		-	
B7202CBTB P4XM	-	-		-	
B7202CTA P4AUM	B7202CTP4SUM	7202CDP4ADB	2MM202WICRSUM	7202CTRSUMP3	204-36202K6EY*
B7202CTA P4AUL	B7202CTP4SUL	7202CDP4AA	2MM202WICRSUL	7202CTRSULP3	104-36202K6EY*
B7202ATA P4AUL	B7202ETP4SUL	7202ACDP4AA	3MM202WICRSUL	7202A5TRSULP3	104-36202KEY*
B7202ATA P4AUM	B7202ETP4SUM	7202ACDP4AB	3MM202WICRSUM	7202A5TRSUMP3	204-36202KEY*
B7203CATB P4	-	-		-	4-36203KE
B7203CATB P4 OM	-	-		-	204-236203E
B7203CATB P5	-	-		-	5-36203E
B7203CATB P5OM	-	-		-	205-236203E
B7203CATB P5T	-	-		-	5-436203E
B7203CBTB P4	-	-		-	
B7203CBTB P4OL	-	-		-	



**1. Jednoradové guľkové ložiská s kosouhlým stykom
pre vysokú frekvenciu otáčania**

Single-Row Angular Contact Ball Bearings for high frequency of rotation

Prevodová tabuľka označenia ložísk / Conversion table of bearing designation:

AKE označenie / designation	FAG označenie / designation	SKF označenie / designation	TIMKEN označenie / designation	NSK označenie / designation	GOST norma / standard
B7203CBTB P4OM	-	-	-	-	
B7203CBTB P4T	-	-	-	-	
B7203CTA P4AUL	B7203CTP4SUL	7203CDP4AA	2MM203WICRSUL	7203CTRSULP3	104-36203K6EY*
B7203CTA P4AUM	B7203CTP4SUM	7203CDP4AB	2MM203WICRSUM	7203CTRSUMP3	204-36203K6EY*
B7203ATA P4AUL	B7203ETP4SUL	7203ACDP4AA	3MM203WICRSUL	7203A5TRSULP3	104-46203EY*
B7203ATA P4AUM	B7203ETP4SUM	7203ACDP4AB	3MM203WICRSUM	7203A5TRSUMP3	204-46203KEY*
B7204AATB P5	-	-	-	-	
B7204AATB P50M	-	-	-	-	
B7204AATB P5T	-	-	-	-	
B7204CATB P4	-	-	-	-	4-36204E
B7204CATB P4OL	-	-	-	-	104-236204E
B7204CATB P4OM	-	-	-	-	204-236204E
B7204CATB P4T	-	-	-	-	4-436204E
B7204CATB P4XL	-	-	-	-	104-336204E
B7204CATB P4XM	-	-	-	-	204-336204E
B7204CATB P5	-	-	-	-	5-36204E
B7204CATB P5OL	-	-	-	-	105-236204E
B7204CATB P50M	-	-	-	-	205-236204E
B7204CBTB P4	-	-	-	-	
B7204CBTB P4OL	-	-	-	-	
B7204CBTB P4OM	-	-	-	-	
B7204CBTB P4T	-	-	-	-	
B7204CBTB P4XM	-	-	-	-	
B7204CTA P4AUL	B7204CTP4SUL	7204CDP4AA	2MM204WICRSUL	7204CTRSULP3	104-46204K6EY*
B7204CTA P4AUM	B7204CTP4SUM	7204CDP4AB	2MM204WICRSUM	7204CTRSUMP3	204-46204K6EY*
B7204ATA P4AUL	B7204ETP4SUL	7204ACDP4AA	3MM204WICRSUL	7204A5TRSULP3	104-46204KEY*
B7204ATA P4AUM	B7204ETP4SUM	7204ACDP4AB	3MM204WICRSUM	7204A5TRSUMP3	204-46204KEY*
B7205AATB P4	-	-	-	-	
B7205AATB P40M	-	-	-	-	
B7205AATB P50M	-	-	-	-	
B7205CATB P4	-	-	-	-	4-36205E
B7205CATB P4OL	-	-	-	-	104-236205E
B7205CATB P4OM	-	-	-	-	204-236205E
B7205CATB P4T	-	-	-	-	4-436205E
B7205CATB P4UL	-	-	-	-	104-36205EY
B7205CATB P4XM	-	-	-	-	204-336205E
B7205CATB P5	-	-	-	-	5-36205E
B7205CATB P50L	-	-	-	-	105-236205E
B7205CATB P50M	-	-	-	-	205-236205E
B7205CATB P5T	-	-	-	-	5-436205E
B7205CATB P5XM	-	-	-	-	205-336205E
B7205CBTB P4	-	-	-	-	
B7205CBTB P4OL	-	-	-	-	
B7205CBTB P4OM	-	-	-	-	
B7205CBTB P4T	-	-	-	-	
B7205CBTB P4XM	-	-	-	-	
B7205CTA P4AUL	B7205CTP4SUL	7205CDP4AA	2MM205WICRSUL	7205CTRSULP3	104-36205K6EY*
B7205CTA P4AUM	B7205CTP4SUM	7205CDP4AB	2MM205WICRSUM	7205CTRSUMP3	204-36205K6EY*
B7205ATA P4AUL	B7205ETP4SUL	7205ACDP4AA	3MM205WICRSUL	7205A5TRSULP3	104-46205KEY*
B7205ATA P4AUM	B7205ETP4SUM	7205ACDP4AB	3MM205WICRSUM	7205A5TRSUMP3	204-46205KEY*
B7206AATB P5	-	-	-	-	
B7206AATB P50M	-	-	-	-	
B7206AATB P5XL	-	-	-	-	
B7206CATB P4	-	-	-	-	4-36206E
B7206CATB P4OL	-	-	-	-	104-236206E
B7206CATB P4OM	-	-	-	-	204-236206E

1. Jednoradové guľkové ložiská s kosouhlým stykom

pre vysokú frekvenciu otáčania

Single-Row Angular Contact Ball Bearings for high frequency of rotation



Prevodová tabuľka označenia ložísk / Conversion table of bearing designation:

AKE označenie / designation	FAG označenie / designation	SKF označenie / designation	TIMKEN označenie / designation	NSK označenie / designation	GOST norma / standard
B7206CATB P4T	-	-		-	4-436206E
B7206CATB P4UL	-	-		-	104-36206EY
B7206CATB P4XL	-	-		-	104-336206E
B7206CATB P4XM	-	-		-	204-336206E
B7206CATB P5	-	-		-	5-36206E
B7206CATB P5OM	-	-		-	205-236206E
B7206CATB P5T	-	-		-	5-436206E
B7206CATB P5UL	-	-		-	105-36206EY
B7206CATB P5UM	-	-		-	205-36206EY
B7206CATB P5XM	-	-		-	205-336206E
B7206CBTB P4	-	-		-	
B7206CBTB P4OL	-	-		-	
B7206CBTB P4OM	-	-		-	
B7206CBTB P4T	-	-		-	
B7206CBTB P4XM	-	-		-	
B7206CTA P4AUL	B7206CTP4SUL	7206CDP4AA	2MM206WICRSUL	7206CTRSULP3	104-36206K6EY*
B7206CTA P4AUM	B7206CTP4SUM	7206CDP4AB	2MM206WICRSUM	7206CTRSUMP3	204-36206K6EY*
B7206ATA P4AUL	B7206ETP4SUL	7206ACDP4AA	3MM206WICRSUL	7206A5TRSULP3	104-46206KEY*
B7206ATA P4AUM	B7206ETP4SUM	7206ACDP4AB	3MM206WICRSUM	7206A5TRSUMP3	204-46206KEY*
B7207AATB P4	-	-		-	
B7207AATB P4OL	-	-		-	
B7207AATB P5	-	-		-	
B7207CMB TPX	-	-		-	36207Л
B7207CATB P4	-	-		-	4-36207E
B7207CATB P4OL	-	-		-	104-236207E
B7207CATB P4OM	-	-		-	204-236207E
B7207CATB P4T	-	-		-	4-436207E
B7207CATB P4UL	-	-		-	104-36207EY
B7207CATB P4XL	-	-		-	104-336207E
B7207CATB P4XM	-	-		-	204-336207E
B7207CATB P5	-	-		-	5-36207E
B7207CATB P5OL	-	-		-	105-236207E
B7207CATB P5OM	-	-		-	205-236207E
B7207CATB P5T	-	-		-	5-436207E
B7207CBTB P4	-	-		-	
B7207CBTB P4OL	-	-		-	
B7207CBTB P4OM	-	-		-	
B7207CBTB P4T	-	-		-	
B7207CTA P4AUL	B7207CTP4SUL	7207CDP4AA	2MM207WICRSUL	7207CTRSULP3	104-36207K6EY*
B7207CTA P4AUM	B7207CTP4SUM	7207CDP4AB	2MM207WICRSUM	7207CTRSUMP3	204-36207K6EY*
B7207ATA P4AUL	B7207ETP4SUL	7207ACDP4AA	3MM207WICRSUL	7207A5TRSULP3	104-46207KEY*
B7207ATA P4AUM	B7207ETP4SUM	7207ACDP4AB	3MM207WICRSUM	7207A5TRSUMP3	204-46207KEY*
B7208CATB P4	-	-		-	4-36208E
B7208CATB P4OL	-	-		-	104-236208E
B7208CATB P4OM	-	-		-	204-236208E
B7208CATB P4T	-	-		-	4-436208E
B7208CATB P4TOTM	-	-		-	
B7208CATB P4XM	-	-		-	204-336208E
B7208CATB P5	-	-		-	5-36208E
B7208CATB P5OL	-	-		-	105-236208E
B7208CATB P5OM	-	-		-	205-236208E
B7208CATB P5T	-	-		-	5-436208E
B7208CATB P5XM	-	-		-	205-336208E
B7208CBTB P4	-	-		-	
B7208CBTB P4OL	-	-		-	
B7208CBTB P4OM	-	-		-	



1. Jednoradové guľkové ložiská s kosouhlým stykom

pre vysokú frekvenciu otáčania

Single-Row Angular Contact Ball Bearings for high frequency of rotation

Prevodová tabuľka označenia ložísk / Conversion table of bearing designation:

AKE označenie / designation	FAG označenie / designation	SKF označenie / designation	TIMKEN označenie / designation	NSK označenie / designation	GOST norma / standard
B7208CBTB P4T	-	-	-	-	-
B7208CTA P4AUL	B7208CTP4SUL	7208CDP4AA	2MM208WICRSUL	7208CTRSULP3	104-36208K6EY*
B7208CTA P4AUM	B7208CTP4SUM	7208CDP4AB	2MM208WICRSUM	7208CTRSUMP3	204-36208K6EY*
B7208ATA P4AUL	B7208ETP4SUL	7208ACDP4AA	3MM208WICRSUL	7208A5TRSULP3	104-46208KEY*
B7208ATA P4AUM	B7208ETP4SUM	7208ACDP4AB	3MM208WICRSUM	7208A5TRSUMP3	204-46208KEY*
B7209CATB P4	-	-	-	-	4-36209E
B7209CATB P4OL	-	-	-	-	104-236209E
B7209CATB P4OM	-	-	-	-	204-236209E
B7209CATB P4T	-	-	-	-	4-436209E
B7209CATB P4XL	-	-	-	-	104-336209E
B7209CATB P4XM	-	-	-	-	204-336209E
B7209CATB P5	-	-	-	-	5-36209E
B7209CATB P50M	-	-	-	-	205-236209E
B7209CATB P5XL	-	-	-	-	105-336209E
B7209CATB P5XM	-	-	-	-	205-336209E
B7209CBTB P4	-	-	-	-	-
B7209CBTB P4OM	-	-	-	-	-
B7209CBTB P4T	-	-	-	-	-
B7209CTA P4AUL	B7209CTP4SUL	7209CDP4AA	2MM209WICRSUL	7209CTRSULP3	104-36209K6EY*
B7209CTA P4AUM	B7209CTP4SUM	7209CDP4AB	2MM209WICRSUM	7209CTRSUMP3	204-36209K6EY*
B7209ATA P4AUL	B7209ETP4SUL	7209ACDP4AA	3MM209WICRSUL	7209A5TRSULP3	104-46209KEY*
B7209ATA P4AUM	B7209ETP4SUM	7209ACDP4AB	3MM209WICRSUM	7209A5TRSUMP3	204-46209KEY*
B7210AATB P5	-	-	-	-	-
B7210AATB P5OL	-	-	-	-	-
B7210AATB P50M	-	-	-	-	-
B7210AATB P5OTL	-	-	-	-	-
B7210CATB P4	-	-	-	-	4-36210E
B7210CATB P4OL	-	-	-	-	4-236210E
B7210CATB P4OM	-	-	-	-	204-236210E
B7210CATB P4T	-	-	-	-	4-436210E
B7210CATB P4XL	-	-	-	-	104-336210E
B7210CATB P5	-	-	-	-	5-36210E
B7210CATB P5OL	-	-	-	-	105-236210E
B7210CATB P50M	-	-	-	-	205-236210E
B7210CATB P50O	-	-	-	-	**
B7210CATB P5T	-	-	-	-	5-436210E
B7210CATB P5XL	-	-	-	-	105-336210E
B7210CBTB P4	-	-	-	-	-
B7210CBTB P4OM	-	-	-	-	-
B7210CBTB P4T	-	-	-	-	-
B7210CTA P4AUL	B7210CTP4SUL	7210CDP4AA	2MM210WICRSUL	7210CTRSULP3	104-36210K6EY*
B7210CTA P4AUM	B7210CTP4SUM	7210CDP4AB	2MM210WICRSUM	7210CTRSUMP3	204-36210K6EY*
B7210ATA P4AUL	B7210ETP4SUL	7210ACDP4AA	3MM210WICRSUL	7210A5TRSULP3	104-46210KEY*
B7210ATA P4AUM	B7210ETP4SUM	7210ACDP4AB	3MM210WICRSUM	7210A5TRSUMP3	204-46210KEY*
B7211CATB P4	-	-	-	-	4-36211E
B7211CATB P4OL	-	-	-	-	104-236211E
B7211CATB P4OM	-	-	-	-	204-236211E
B7211CATB P4T	-	-	-	-	4-436211E
B7211CATB P4UL	-	-	-	-	104-36211EY
B7211CATB P4XL	-	-	-	-	104-336211E
B7211CATB P4XM	-	-	-	-	204-336211E
B7211CATB P5	-	-	-	-	5-36211E
B7211CATB P5OL	-	-	-	-	105-236211E
B7211CATB P50M	-	-	-	-	205-236211E
B7211CATB P5TOTM	-	-	-	-	-
B7211CATB P5XL	-	-	-	-	105-336211E

**1. Jednoradové guľkové ložiská s kosouhlým stykom
pre vysokú frekvenciu otáčania**



Single-Row Angular Contact Ball Bearings for high frequency of rotation

Prevodová tabuľka označenia ložísk / Conversion table of bearing designation:

AKE označenie / designation	FAG označenie / designation	SKF označenie / designation	TIMKEN označenie / designation	NSK označenie / designation	GOST norma / standard
B7211CATB P5XM	-	-		-	205-336211E
B7211CBTB P4	-	-		-	
B7211CBTB P4OL	-	-		-	
B7211CBTB P4OM	-	-		-	
B7211CTA P4AUL	B7211CTP4SUL	7211CDP4AA	2MM211WICRSUL	7211CTRSULP3	104-36211K6EY*
B7211CTA P4AUM	B7211CTP4SUM	7211CDP4AB	2MM211WICRSUM	7211CTRSUMP3	204-36211K6EY*
B7211ATA P4AUL	B7211ETP4SUL	7211ACDP4AA	3MM211WICRSUL	7211A5TRSULP3	104-46211KEY*
B7211ATA P4AUM	B7211ETP4SUM	7211ACDP4AB	3MM211WICRSUM	7211A5TRSUMP3	204-46211KEY*
B7212CATB P4	-	-		-	4-36212E
B7212CATB P4OL	-	-		-	104-236212E
B7212CATB P4OM	-	-		-	204-236212E
B7212CATB P4OTM	-	-		-	204-836212E
B7212CATB P4TOTM	-	-		-	
B7212CATB P4XM	-	-		-	204-336212E
B7212CATB P5	-	-		-	5-36212E
B7212CATB P5OL	-	-		-	105-236212E
B7212CATB P5OM	-	-		-	205-236212E
B7212CATB P5T	-	-		-	5-436212E
B7212CATB P5XL	-	-		-	105-336212E
B7212CATB P5XM	-	-		-	205-336212E
B7212CBTB P4	-	-		-	
B7212CTA P4AUL	B7212CTP4SUL	7212CDP4AA	2MM212WICRSUL	7212CTRSULP3	104-36212K6EY*
B7212CTA P4AUM	B7212CTP4SUM	7212CDP4AB	2MM212WICRSUM	7212CTRSUMP3	204-36212K6EY*
B7212ATA P4AUL	B7212ETP4SUL	7212ACDP4AA	3MM212WICRSUL	7212A5TRSULP3	104-46212KEY*
B7212ATA P4AUM	B7212ETP4SUM	7212ACDP4AB	3MM212WICRSUM	7212A5TRSUMP3	204-46212KEY*
B7213CATB P4	-	-		-	4-36213E
B7213CATB P4OL	-	-		-	104-236213E
B7213CATB P4OM	-	-		-	204-236213E
B7213CATB P4T	-	-		-	4-436213E
B7213CATB P4XM	-	-		-	204-336213E
B7213CATB P5	-	-		-	5-36213E
B7213CATB P5OM	-	-		-	205-236213E
B7213CATB P5T	-	-		-	5-436213E
B7213CATB P5XM	-	-		-	205-336213E
B7213CTA P4AUL	B7213CTP4SUL	7213CDP4AA	2MM213WICRSUL	7213CTRSULP3	104-36213K6EY*
B7213CTA P4AUM	B7213CTP4SUM	7213CDP4AB	2MM213WICRSUM	7213CTRSUMP3	204-36213K6EY*
B7213ATA P4AUL	B7213ETP4SUL	7213ACDP4AA	3MM213WICRSUL	7213A5TRSULP3	104-46213KEY*
B7213ATA P4AUM	B7213ETP4SUM	7213ACDP4AB	3MM213WICRSUM	7213A5TRSUMP3	204-46213KEY*
B7214CATB P4	-	-		-	4-36214E
B7214CATB P4OL	-	-		-	104-236214E
B7214CATB P4OM	-	-		-	204-236214E
B7214CATB P4XM	-	-		-	204-336214E
B7214CATB P5	-	-		-	5-36214E
B7214CATB P5OL	-	-		-	105-236214E
B7214CATB P5XL	-	-		-	105-336214E
B7214CATB P5XM	-	-		-	205-336214E
B7214CATB P5XS	-	-		-	305-336214E
B7214CBTB P4	-	-		-	
B7214CTA P4AUL	B7214CTP4SUL	7214CDP4AA	2MM214WICRSUL	7214CTRSULP3	104-36214K6EY*
B7214CTA P4AUM	B7214CTP4SUM	7214CDP4AB	2MM214WICRSUM	7214CTRSUMP3	204-36214K6EY*
B7214ATA P4AUL	B7214ETP4SUL	7214ACDP4AA	3MM214WICRSUL	7214A5TRSULP3	104-46214KEY*
B7214ATA P4AUM	B7214ETP4SUM	7214ACDP4AB	3MM214WICRSUM	7214A5TRSUMP3	204-46214KEY*
B7215AATB P5	-	-		-	
B7215AATB P50M	-	-		-	
B7215AATB P5T	-	-		-	
B7215CATB P4	-	-		-	4-36215E



1. Jednoradové guľkové ložiská s kosouhlým stykom

pre vysokú frekvenciu otáčania

Single-Row Angular Contact Ball Bearings for high frequency of rotation

Prevodová tabuľka označenia ložísk / Conversion table of bearing designation:

AKE označenie / designation	FAG označenie / designation	SKF označenie / designation	TIMKEN označenie / designation	NSK označenie / designation	GOST norma / standard
B7215CATB P4OL	-	-		-	104-236215E
B7215CATB P4OM	-	-		-	204-236215E
B7215CATB P4UL	-	-		-	104-36215EY
B7215CATB P5	-	-		-	5-36215E
B7215CATB P5OL	-	-		-	105-236215E
B7215CATB P5OM	-	-		-	205-236215E
B7215CATB P5T	-	-		-	5-436215E
B7215CTA P4AUL	B7215CTP4SUL	7215CDP4AA	2MM215WICRSUL	7215CTRSULP3	104-36215K6EY*
B7215CTA P4AUM	B7215CTP4SUM	7215CDP4AB	2MM215WICRSUM	7215CTRSUMP3	104-36215K6EY*
B7215ATA P4AUL	B7215ETP4SUL	7215ACDP4AA	3MM215WICRSUL	7215A5TRSULP3	104-46215KEY*
B7215ATA P4AUM	B7215ETP4SUM	7215ACDP4AB	3MM215WICRSUM	7215A5TRSUMP3	204-46215KEY*
B7216AATB P5	-	-		-	
B7216AATB P5OL	-	-		-	
B7216CATB P4	-	-		-	4-36216E
B7216CATB P4OL	-	-		-	104-236216E
B7216CATB P4OM	-	-		-	204-236216E
B7216CATB P4OO	-	-		-	**
B7216CATB P5	-	-		-	5-36216E
B7216CATB P5OL	-	-		-	105-236216E
B7216CATB P5OM	-	-		-	205-236216E
B7216CATB P5UL	-	-		-	105-36216EY
B7216CTA P4AUL	B7216CTP4SUL	7216CDP4AA	2MM216WICRSUL	7216CTRSULP3	104-36216K6EY*
B7216CTA P4AUM	B7216CTP4SUM	7216CDP4AB	2MM216WICRSUM	7216CTRSUMP3	204-36216K6EY*
B7216ATA P4AUL	B7216ETP4SUL	7216ACDP4AA	3MM216WICRSUL	7216A5TRSULP3	104-46216KEY*
B7216ATA P4AUM	B7216ETP4SUM	7216ACDP4AB	3MM216WICRSUM	7216A5TRSUMP3	204-46216KEY*
B7217CATB P4	-	-		-	4-36217E
B7217CATB P4OM	-	-		-	204-236217E
B7217CATB P4XM	-	-		-	204-336217E
B7217CATB P5	-	-		-	5-36217E
B7217CATB P5OL	-	-		-	105-236217E
B7217CATB P5OM	-	-		-	205-36217E
B7217CATB P5T	-	-		-	5-436217E
B7217CTA P4AUL	B7217CTP4SUL	7217CDP4AA	2MM217WICRSUL	7217CTRSULP3	104-36217K6EY*
B7217CTA P4AUM	B7217CTP4SUM	7217CDP4AB	2MM217WICRSUM	7217CTRSUMP3	204-36217K6EY*
B7217ATA P4AUL	B7217ETP4SUL	7217ACDP4AA	3MM217WICRSUL	7217A5TRSULP3	104-46217KEY*
B7217ATA P4AUM	B7217ETP4SUM	7217ACDP4AB	3MM217WICRSUM	7217A5TRSUMP3	204-46217KEY*
B7220AATB P5	-	-		-	
B7220AATB P5OL	-	-		-	
B7220AATB P5OM	-	-		-	
B7220AATB P5OTL	-	-		-	
B7220CTA P4AUL	B7220CTP4SUL	7220CDP4AA	2MM220WICRSUL	7220CTRSULP3	104-36220K6EY*
B7220CTA P4AUM	B7220CTP4SUM	7220CDP4AB	2MM220WICRSUM	7220CTRSUMP3	204-36220K6EY*
B7220ATA P4AUL	B7220ETP4SUL	7220ACDP4AA	3MM220WICRSUL	7220A5TRSULP3	104-46220KEY*
B7220ATA P4AUM	B7220ETP4SUM	7220ACDP4AB	3MM220WICRSUM	7220A5TRSUMP3	204-46220KEY*

* stupeň presnosti vyšší ako P4 / degree of precision higher than P4

** ložiská s vymedzenou vôľou / bearings with delimitated clearance

Znak "CBTB" v označení "AKE" znamená klietku vedenú vnútorným krúžkom, uhol styku 10°, úkos na vonkajšom krúžku / Symbol "CBTB" within AKE bearing designation means cage guided by inner ring, contact angle $\alpha = 10^\circ$, outer ring with chamfer

Znak "CATB" v označení "AKE" znamená klietku vedenú vnútorným krúžkom, uhol styku 12°, úkos na vonkajšom krúžku / Symbol "CATB" within AKE bearing designation means cage guided by inner ring, contact angle $\alpha = 12^\circ$, outer ring with chamfer

Znak "AATB" v označení "AKE" znamená klietku vedenú vnútorným krúžkom, uhol styku 26°, úkos na vonkajšom krúžku / Symbol "AATB" within AKE bearing designation means cage guided by inner ring, contact angle $\alpha = 26^\circ$, outer ring with chamfer

Znak "ATA" v označení "AKE" znamená klietku vedenú vonkajším krúžkom, uhol styku 25°, úkos na vonkajšom krúžku / Symbol "ATA" within AKE bearing designation means cage guided by outer ring, contact angle $\alpha = 25^\circ$, outer ring with chamfer

Znak "CTA" v označení "AKE" znamená klietku vedenú vonkajším krúžkom, uhol styku 15°, úkos na vonkajšom krúžku / Symbol "CTA" within AKE bearing designation means cage guided by outer ring, contact angle $\alpha = 15^\circ$, outer ring with chamfer

AKE Skalica môže dodávať celý sortiment uvedený v tabuľke s keramickými guľkami. Keramické guľky sa značia pridaním znaku "C" pred označenie ložiska, napríklad: C B7200CTA P4AUL

Whole bearing assortment displayed in the table above can be delivered by producer plant AKE Skalica with ceramic balls. Charactre "C" added in front of the bearing designation represents bearing modification with ceramic balls, e.g. C B7200CTA P4AUL.



2. Dvojradové valčekové ložiská

Double-Row Cylindrical Roller Bearings



2. Dvojradové valčekové ložiská



Technická časť

Dvojradové valčekové ložiská konštrukčného vyhotovenia NN30 majú dva rady valčekov, ktoré sú vedené nákružkami na vnútornom krúžku. Vonkajší krúžok je bez nákružkov. Ložiská nemôžu prenášať žiadne axiálne sily, avšak jeho vyhotovenie umožňuje axiálny posuv medzi hriadeľom a telesom v určitých medziach (v tabuľkovej časti parameter "s") oboma smermi. Dvojradové valčekové ložiská typu NN30 sa bežne vyrába s kužeľovou dierou s kužeľovitosťou 1:12 - prídavné označenie "K" (NN30..K). Na požiadanie je možné dodávať ložiská v prevedení s valcovou dierou (NN30). Ložiská sú rozoberateľné, čo uľahčuje ich montáž a demontáž.

Dvojradové valčekové ložiská sa vyznačujú vysokou tuhosťou, nízkou zástavbovou výškou, pomerne vysokými medznými otáčkami a dynamickou únosnosťou. Ich použitie je prevažne pre uloženie pracovných vretien obrábacích strojov a obdobných zariadení.

Hlavné rozmery

Hlavné rozmery dvojradových valčekových ložísk s kužeľovou dierou NN30..K odpovedajú medzinárodnému rozmerovému plánu ISO 15. Pre špeciálne účely je možné dvojradové valčekové ložisko NN30K dodávať v odlišných rozmeroch.

Označovanie

Prefix _____

Základné označenie _____

Sufix (prídavné označenie) _____

Neúplnosť ložiska _____

Základná konštrukčná rada _____

Šírková rada _____

Priemerová rada _____

Priemer diery _____

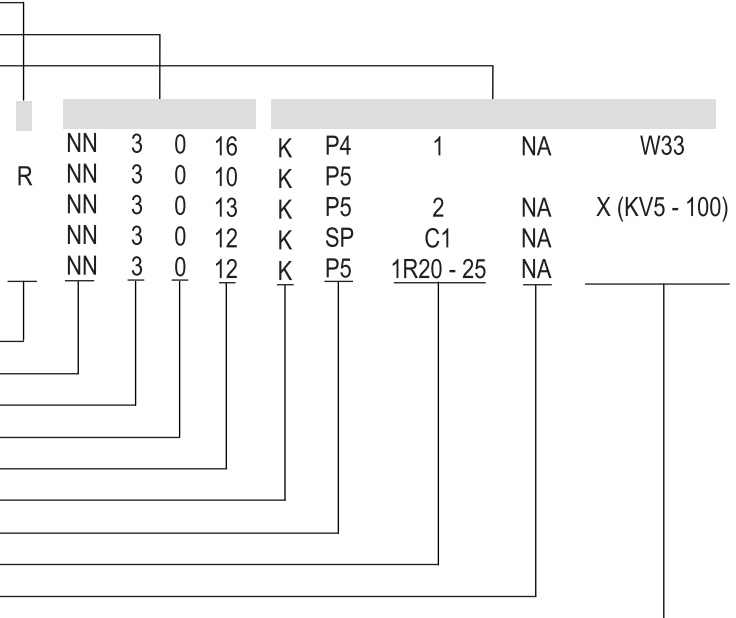
Konštrukčné vyhotovenie diery vnútorného krúžku _____

Stupeň presnosti _____

Radiálna vôľa _____

Vzájomná nezameniteľnosť krúžkov _____

Konštrukčná obmena ložiskových krúžkov _____



Konštrukčné vyhotovenie otvoru vnútorného krúžku

Bez označenia - valcová diera

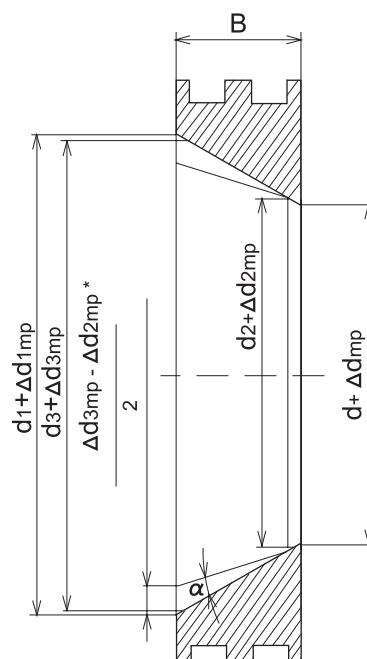
K - kužeľová diera 1:12

Hodnota polovičného uhla :

$$\alpha = 2^\circ 23' 9,4''$$

Výpočet teoretického maximálneho priemera kužeľového otvoru :

$$d_1 = d + \frac{1}{12} B \text{ [mm]}$$



d - menovitý priemer otvoru vnútorného krúžku

B - menovitá šírka vnútorného krúžku

α - polovičný uhol kužeľového otvoru



2. Dvojradové valčekové ložiská

Technická časť

Presnosť rozmerov a chodu dvojradových valčekových ložísk s kužeľovou dierou typu NN30..K

Stupeň presnosti P5

Vnútorný krúžok		Δ_{dmp}	V_{dp}	Δ_{d3mp}	Δ_{d2mp}	K_{ia}	S_d	Δ_{Bs}	V_{Bs}
nad	do	max	min	max	max	max	max	max	min
mm									μm
18	30	+9	0	2	+9	0	3	8	0
30	50	+11	0	3	+11	0	4	8	0
50	80	+13	0	3	+13	0	4	8	0
80	120	+15	0	4	+15	0	4,5	9	0
120	180	+18	0	5	+18	0	6,5	10	0

Vonkajší krúžok		Δ_{Dmp}	V_{Dp}	V_{Dmp}	K_{ea}	S_D	Δ_{Cs}	V_{Cs}
nad	do	max	min	max	max	max	max	min
mm								μm
50	80	0	-9	3	4,5	7	8	6
80	120	0	-10	4	5	8	9	8
120	150	0	-11	4	5,5	9	10	8
150	180	0	-13	5	6,5	11	10	8
180	250	0	-15	6	7,5	13	11	10

Δ_{Cs} odpovedá Δ_{Bs} vnútorného krúžku toho istého ložiska

Stupeň presnosti P4

Vnútorný krúžok		Δ_{dmp}	V_{dp}	Δ_{d3mp}	Δ_{d2mp}	K_{ia}	S_d	Δ_{Bs}	V_{Bs}
nad	do	max	min	max	max	max	max	max	min
mm									μm
18	30	+6	0	2	+6	0	2,5	4	0
30	50	+7	0	3	+7	0	3,5	4	0
50	80	+8	0	3	+8	0	3,5	5	0
80	120	+10	0	4	+10	0	4	5	0
120	180	+12	0	5	+12	0	5	6	0

Vonkajší krúžok		Δ_{Dmp}	V_{Dp}	V_{Dmp}	K_{ea}	S_D	Δ_{Cs}	V_{Cs}
nad	do	max	min	max	max	max	max	min
mm								μm
50	80	0	-7	2	3,5	4,5	4	3
80	120	0	-8	3	4	5,5	5	4
120	150	0	-9	3	4,5	6	5	5
150	180	0	-10	4	5	7	5	5
180	250	0	-11	4	5,5	9	7	7

Δ_{Cs} odpovedá Δ_{Bs} vnútorného krúžku toho istého ložiska

2. Dvojradové valčekové ložiská



Technická časť

Stupeň presnosti SP

Vnútorný krúžok		Δ_{dmp}	V_{dp}	$\Delta_{d_3mp} - \Delta_{d_2mp}$	K_{ia}	S_d	Δ_{Bs}	V_{Bs}
nad	do	max	min	max	min	max	max	min
mm		μm						
18	30	+9	0	2	+4	0	3	8
30	50	+11	0	3	+6	0	4	8
50	80	+13	0	3	+6	0	4	8
80	120	+15	0	4	+8	0	4,5	9
120	180	+18	0	5	+8	0	6,5	10

Vonkajší krúžok		Δ_{Dmp}	V_{Dp}	V_{Dmp}	K_{ea}	S_D	Δ_{Cs}	V_{Cs}
nad	do	max	min	max	max	max	max	min
mm		μm						
50	80	0	-9	3	4,5	7	8	
80	120	0	-10	4	5	8	9	
120	150	0	-11	4	5,5	9	10	
150	180	0	-13	5	6,5	11	10	
180	250	0	-15	6	7,5	13	11	

Δ_{Cs} a V_{Cs} odpovedajú Δ_{Bs} a V_{Bs} vnútorného krúžku toho istého ložiska

Presnosť rozmerov a chodu dvojradových valčekových ložísk s valcovou dierou typu NN30

Stupeň presnosti P5

Vnútorný krúžok		Δ_{dmp}	V_{dp}	V_{dmp}	K_{ia}	S_d	Δ_{Bs}	V_{Bs}
nad	do	min	max	max	max	max	max	min
mm		μm						
18	30	0	-6	5	3	4	8	0
30	50	0	-8	6	4	5	8	0
50	80	0	-9	7	5	5	8	0
80	120	0	-10	8	5	6	9	0
120	180	0	-13	10	7	8	10	0

Vonkajší krúžok		Δ_{Dmp}	V_{Dp}	V_{Dmp}	K_{ea}	S_D	Δ_{Cs}	V_{Cs}
nad	do	max	min	max	max	max	max	min
mm		μm						
50	80	0	-9	7	5	8		6
80	120	0	-10	8	5	10		8
120	150	0	-11	8	6	11		8
150	180	0	-13	10	7	13		8
180	250	0	-15	11	8	15		10

Δ_{Cs} odpovedá Δ_{Bs} vnútorného krúžku toho istého ložiska



2. Dvojradové valčekové ložiská

Technická časť

Stupeň presnosti P4

Vnútorný krúžok		Δd_{dmp}	V_{dp}	V_{dmp}	K_{ia}	S_d	ΔB_s	V_{Bs}
do	nad	min	max	max	max	max	max	min
mm								μm
18	30	0	-5	4	2,5	3	4	0
30	50	0	-6	5	3	4	4	0
50	80	0	-7	5	3,5	4	5	0
80	120	0	-8	6	4	5	5	0
120	180	0	-10	8	5	6	6	0

Vonkajší krúžok		ΔD_{dmp}	V_{Dp}	V_{Dmp}	K_{ea}	S_D	ΔC_s	V_{Cs}
do	nad	max	min	max	max	max	max	min
mm								μm
50	80	0	-7	5	3,5	5	4	3
80	120	0	-8	6	4	6	5	4
120	150	0	-9	7	5	7	5	5
150	180	0	-10	8	5	8	5	5
180	250	0	-11	8	6	10	7	7

ΔC_s odpovedá ΔB_s vnútorného krúžku toho istého ložiska

Stupeň presnosti

P5 - vyšší stupeň presnosti než P6

P4 - vyšší stupeň presnosti než P5

SP - vyšší stupeň presnosti pre ložiská NN30.. K

UP - vyšší stupeň presnosti než SP pre ložiska NN30.. K

Radiálna vôle

Dvojradové valčekové ložiská konštrukčného vyhotovenia NN30 sa vyrábajú so zmenšenou radiálou vôleou C1 a C2 a so vzájomne nezameniteľnými krúžkami C1NA a C2NA.

Hodnoty radiálnej vôle pre ložiská s kužeľovou dierou odpovedajú ISO 5753 a sú uvedené v tabuľke. Tieto hodnoty platia pre nezabudované ložiská pri meracom začlenení nula.

Hodnoty radiálnej vôle

d nad	do	C1NA		C2NA	
		min	max	min	max
mm					μm
24	30	15	25	25	35
30	40	15	25	25	40
40	50	17	30	30	45
50	65	20	35	35	50
65	80	25	40	40	60
80	100	35	55	45	70
100	120	40	60	50	80
120	140	45	70	60	90
140	160	50	75	65	100

2. Dvojradové valčekové ložiská



Technická časť'

C1 - radiálna vôle menšia než C2

C2 - radiálna vôle menšia než C3

R - zúžená tolerancia radiálnej vôle C1 (C2). Rozsah vôle je uvedený v označení (R20-25)

Špeciálna radiálna vôle - na požiadanie je možné dodať požadovaný rozsah radiálnej vôle

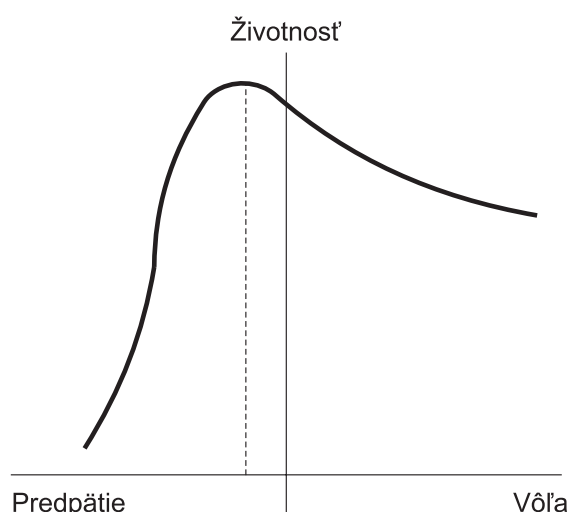
Pre zabezpečenie čo možno najvyššej presnosti chodu a tuhosti systému vretien obrábacích strojov majú ložiská v zabudovanom stave vykazovať čo možno najmenšiu radiálnu vôle alebo predpäťie. S ohľadom na to sú valčekové ložiská s kužeľovou dierou montované s predpäťím. Pokiaľ je nastavené príliš veľké predpäťie, dojde k rýchlemu nárastu teploty v uložení a rýchla spotreba maziva v ložisku, následnému opotrebovaniu (pitting) a deštrukcii ložiska viď graf. Naopak pri väčšej prevádzkovej vôle nie je pokles životnosti ložiska tak strmý, avšak citelný.

Zvyšovanie predpäťia je preto pomerne riskantný krok, ktorý by mal byť dôkladne overený. Všeobecné údaje pre nastavenie optimálneho predpäťia neexistujú. Odporúčame každé problematické uloženie konzultovať s technikom.

Je nutné poznámať, že predpäťím sa rozumie sila (resp. presah) v uložení za chodu. Tá je za chodu spravidla menšia, než jej hodnota pri montáži. Hodnotu vôle zvyšuje pružné deformácia medzi valivými telieskami a krúžkami a zníženie vrcholov drsnosti povrchu Ra všetkých funkčných plôch.

Veľkosť prevádzkovej vôle je závislá od otáčok, zaťaženia ložiska, mazania a požadovanej tuhosti systému. Je však aj závislá na tvarovej presnosti protikusu. Tá musí byť veľmi vysoká, pokiaľ je vyžadovaná malá prevádzková vôle alebo predpäťie. Pri dimenzovaní je nutné zohľadňovať aj tepelné podmienky ložiska, ktoré môžu mať za následok zmenšenie vôle, prípadne zväčšenia predpäťia.

Graf s približnou charakteristikou životnosti ložísk na predpäťí / vôle:



Spájanie znakov v označení ložísk

P5 + C1 = P51

P5 + C2 = P52

P4 + C1 = P41

P4 + C2 = P42

Vzájomná nezameniteľnosť krúžkov

NA - ložiská s nezameniteľnými krúžkami

Konštrukčná obmena ložiskových krúžkov

W33 - drážka a mazacie otvory na obvode vonkajšieho krúžku

X - odlišná konštrukcia, zmena zástavbových rozmerov

- rozšírený vonkajší krúžok

- zmena montážnych polomerov na ložiskových krúžkoch; využitie väčšej plochy pre opretie vymedzovacieho krúžku

- označenie špeciálneho ložiska na príslušné zákazníka



2. Dvojradové valčekové ložiská

Technická časť'

Materiál

Funkčné súčasti ložísk NN30..K (vnútorný a vonkajší krúžok, valčeky) sú vyrábané z konštrukčnej ocele podľa DIN 100Cr6 a DIN 100CrMn6.

Klietky

Dvojradové valčekové ložiská konštrukčného vyhotovenia NN30..K sa bežne vyrábajú s masívou mosadznou hrebeňovou klietkou vedenou na valčekoch, ktorá sa neoznačuje.

Naklopiteľnosť'

Dvojradové valčekové ložiská konštrukčného vyhotovenia NN30..K nie sú vhodné pre použitie v uloženiach, kde nie je zabezpečená vzájomná súosovosť vnútorných a vonkajších ložiskových krúžkov. Ložiská neumožňujú naklopenie.

Radiálne ekvivalentné dynamické zaťaženie

$$P_r = F_r$$

Radiálne ekvivalentné statické zaťaženie

$$P_{or} = F_r$$

Výpočty

Výpočet teoretického maximálneho priemeru kužeľového otvoru

$$d_1 = d + \frac{1}{12} B \text{ [mm]}$$

Hodnota minimálneho zaťaženia

$$F_{rm} = k_r (6+4n/n_r) \cdot (d_m / 100)^2$$

F_{rm} - minimálne zaťaženie [kN]

k_r - faktor minimálneho zaťaženia

n - prevádzkové otáčky [r/min]

n_r - medzné otáčky

d_m - stredný priemer ložiska $0,5 \cdot (d+D)$ [mm]

d_j - vnútorný priemer dutého hriadeľa

Axiálna dráha posuvu po dutom kuželi

$$B_a = e \cdot c / 1000$$

B_a - axiálna dráha posuvu [mm]

e - konštantá závislá na konštrukčnej rade ložiska, rovnako ako na strednom priemer uloženia ložiska a vnútornom priemere u dutých hriadeľov, kedy $e = d_j / d_m$, vid' tabuľka nižšie:

c - potrebné zmenšenie ložiskovej vôle, eventuálne vrátane predpäťia [μm]

Pomer priemerov dutého hriadeľa d_j/d_m	Konštantá "e" pre ložisko NN30
≤ 0,2	12,5
0,3	14,5
0,4	15
0,5	16
0,6	17
0,7	18

Uhol dotiahnutia pri naťahovaní na dutý kužel pomocou koncovej maticy

$$\gamma = \frac{360 \cdot e \cdot c}{p \cdot 1000}$$

γ - potrebný uhol doťahovania koncovej maticy [°]

e - konštantá závislá na konštrukčnej rade ložiska, rovnako ako na strednom priemere uloženia ložiska a vnútornom priemere u dutých hriadeľov, kedy $e = dj / dm$, viď tabuľka vyššie

c - potrebné zmenšenie ložiskovej vôle, eventuálne vrátane predpäťia [μm]

p - stúpanie závitu hriadeľovej matice [mm]

Otáčky

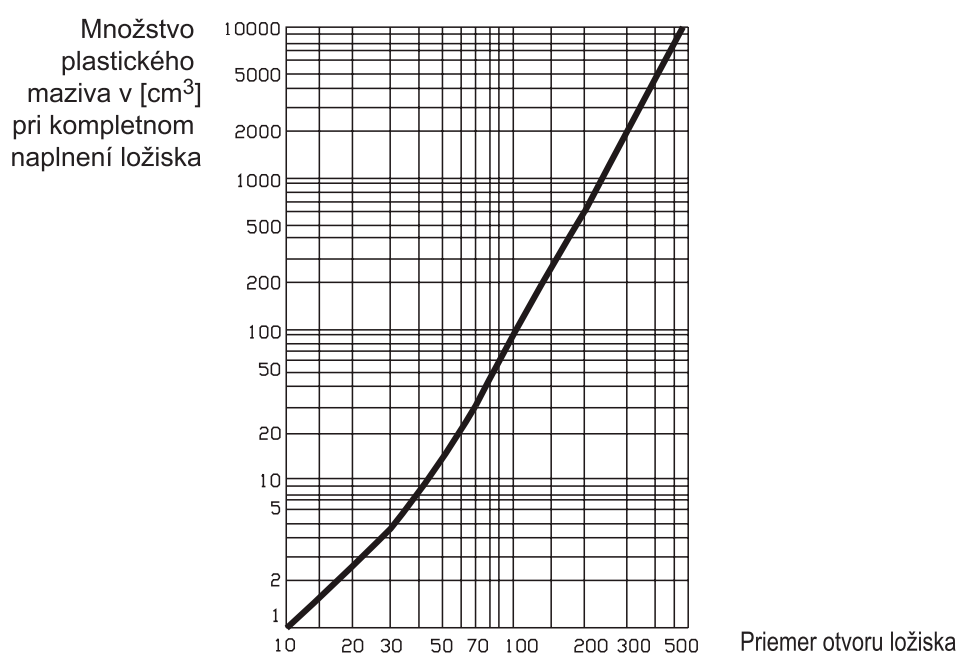
Dosiahnuteľné otáčky uvedené v tabuľke ložísk v systémovej časti katalógu platia za predpokladu, že je prevádzková vôle rovná nule. Ložisko nie je pod predpäťím a konštrukčné diely sú zároveň vyrobené s doporučenou presnosťou. U vyšších hodnôt prevádzkovej vôle, prípadne predpäťia alebo pri menej presne vyrobených konštrukčných dielov je potrebné udávané otáčky odpovedajúcim spôsobom redukovať, prípadne zvýšiť. Príliš veľké predpäťie obmedzuje plné využitie medzných otáčok ložiska. Smerodajné hodnoty vôle prípadne predpäťia pre charakteristiku otáčok "n . dm" (otáčkové číslo) sú uvádzané v tabuľke.

Tabuľka doporučených hodnôt otáčkového čísla pre dané rozsahy vôle / predpäťia:

Otáčkové číslo "n.d" mm . min ⁻¹	Predpätie (+), Vôle (-)	
	min	max
≤ 500 000	+2	+5
500 000 - 1 000 000	+1	+2
> 1 000 000	0	-4

Mazanie

Prevádzkovým otáčkam by malo odpovedať aj množstvo a kvalita použitého plastického maziva. Množstvo plastického maziva by nemalo prekročiť 30% voľného priestoru v ložisku. Objem voľného priestoru zistíme podľa priloženého diagramu:



Všeobecne platí, že objem maziva by sa mal znižovať s rastúcimi otáčkami. Objem plnenia pre ložiská do vretien obrábacích strojov sú uvádzané v tabuľke nižšie. Pre aplikácie vretien obrábacích strojov sa odporúča použiť špeciálne mazivo pre vyššie otáčky, naopak mazivo s vyššou viskozitou pre aplikácie, kde je v ložisku predpäťie.

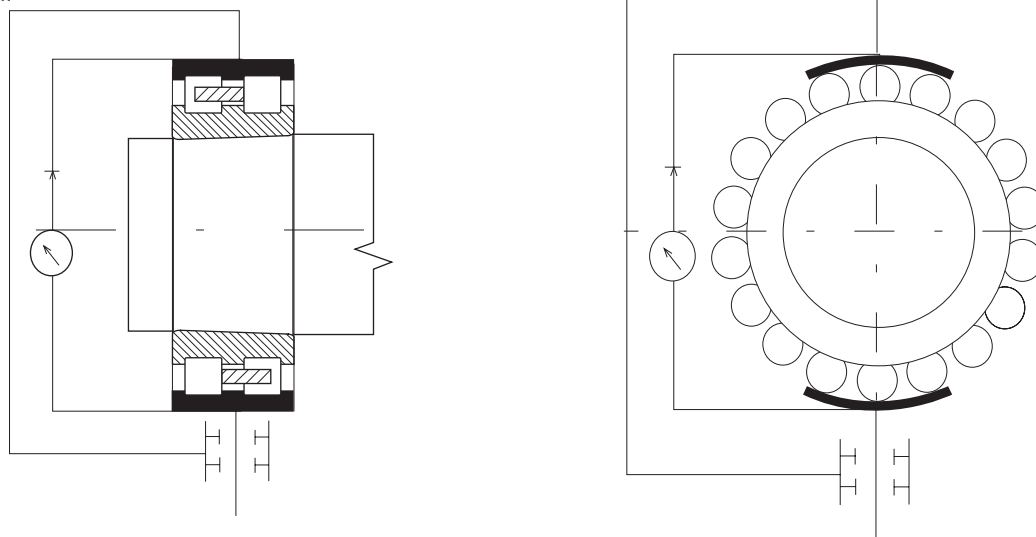
Technická časť

Objem plnenia plastickým mazivom ložísk NN30..K pre vretená obrábacích strojov:

Priemer hriadeľa [mm]	25	30	35	40	45	50	55	60	65	70	75	80	85	90	95	100	105	110	120	130	140	150
NN30 [cm ³]	1	1,1	1,4	1,7	2	2,1	2,6	2,8	3	3,8	4	5	5,2	5,9	6,2	6,6	7,6	8,8	9,6	12	17	20

Nastavenie vôle resp. predpäťia v ložisku

Nastavenie radiálnej vôle, prípadne predpäťia sa u ložísk NN30 s kužeľovým otvorom vykonáva pomocou nasunutia vnútorného krúžku príslušne ďaleko na kužeľ. Rýchle, spoľahlivé a veľmi presné nastavenie radiálnej vôle, prípadne predpäťia je možné pomocou špeciálneho meracieho prístroja obalovej kružnice. Pri montáži sa postupuje tak, že sa najskôr meradlom zmeria priemer obežnej dráhy na namontovanom vonkajšom krúžku. Tento priemer sa prenesie na špeciálne meradlo obalovej kružnice valčekov a meradlo sa nasadí na vnútorný krúžok s valčekmi. Vnútorný krúžok sa posunie tak ďaleko na kužeľ, až meradlo ukáže hodnotu predpisanej vôle alebo predpäťia. Viď obr.:



V prípade, že merací prístroj obalovej kružnice nie je k dispozícii, je potrebné v závislosti na požadovanej radiálnej vôle, prípadne na požadovanom predpäti zistiť axiálnu dráhu posuvu vnútorného krúžku na kužeľ. Aby bolo možné dráhu posuvu určiť, je potrebné do telesa namontovať vonkajší krúžok a vnútorný krúžok na kužeľové uloženie dostatočne pevne a zmerať zostávajúcu vôle ložiska v uložení.

Zo zistenej hodnoty stávajúcej radiálnej vôle ložiska vyplýva axiálna dráha posuvu, o ktorú musí byť ložisko posunuté na kužeľovom uložení, viď tabuľka.

Tabuľka zmeny radiálnej vôle vplyvom posuvu vnútorného krúžku na hriadeľi :

Menovitý priemer	Axiálny posuv vnútorného krúžku				Zníženie radiálnej vôle	
	d		kužeľ 1:12		min	max
	nad	do	min	max		
					mm	mm
24		30	0,30	0,35	0,015	0,020
30		40	0,35	0,40	0,020	0,025
40		50	0,40	0,45	0,025	0,030
50		65	0,45	0,60	0,030	0,040
65		80	0,60	0,70	0,040	0,050
80		100	0,70	0,90	0,045	0,060
100		120	0,75	1,10	0,050	0,070
120		140	1,10	1,40	0,065	0,090

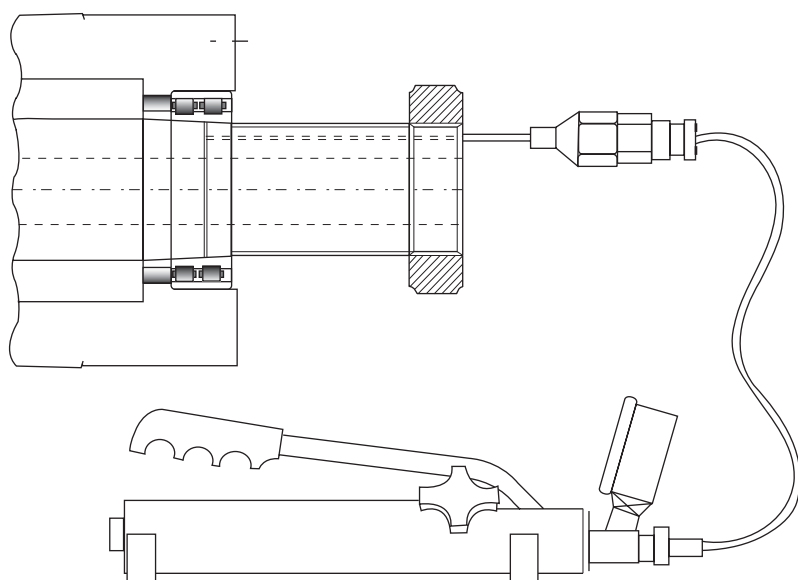
Montáž a demontáž ložísk NN30..K

Montáž ložísk NN30..K vyžaduje špeciálny postup s ohľadom na správne nastavenie vôle alebo predpäťia v ložisku (viď kapitola "Nastavenie vôle resp. predpäťia v ložisku").

Pri uložení väčších ložísk musia byť v mnohých prípadoch učinené konštrukčné opatrenia, aby sa montáž a demontáž zjednodušila, alebo aby bola montáž a demontáž vôbec uskutočniteľná.

Pre ložiská NN30..K s otvorom od 80mm je možné použiť metódy tlakového oleja, pri ktorej je medzi styčné plochy pod vysokým tlakom privádzaný olej pomocou tzv. olejových injektorov. Tým sa pri montáži a demontáži ložísk s kužeľovým uložením podstatne znížia sily pre montáž a demontáž a obmedzí sa prípadne vylúči nebezpečenstvo poškodenia styčných plôch ložiska na hriadele.

Aby bolo možné metódy tlakového oleja použiť, musí byť hriadeľ vybavený otvorom a rozvádzacou drážkou vid' obr.:



Konštrukcia protikusu

Súvisiace strojné súčasti musia spĺňať obvyklé konštrukčné zvyklosti. Pri oporných, dištančných krúžkoch je nutné dodržať zástavbové rozmery - D; d a rádius r. Krúžky by mali mať brúsené čelá, ktoré by mali dodržiavať kolmosť čiel prípadne čelové hádzanie. Krúžky musia byť kalené. Kužeľ hriadeľa musí byť vyrobený minimálne v rovnakej presnosti akú má kužeľový otvor ložiska, viď tabuľky.

Doporučené medzné hodnoty odchýlky kruhovitosti kužeľového povrchu hriadeľa 1:12 v [μm] :

Priemer diery		Odchýlka kruhovitosti kužeľového povrchu hriadeľa pre stupne presnosti ložiska				
nad mm	d do	P0	P6	P5	P4	P3
-	18	8	5	3	2	1,2
18	30	10	6	4	2,5	1,6
30	50	12	8	5	3	2
50	120	16	10	6	4	2,5
120	250	20	12	8	5	3

Technická časť'

Doporučené hodnoty medzných odchýlok kužeľovitosti hriadeľa 1:12 v [μm] na dĺžke, ktorá sa rovná 0,7 šírky vnútorného krúžku :

Priemer diery		Stupeň presnosti ložiska				
d nad mm	do μm	P0 IT6	P6 Odchýlky kužeľovitosti hriadeľa (*) IT5	P5 IT4	P4 IT2	P2 IT1
-	18	11	8	5	2	1,2
18	30	13	9	6	2,5	1,5
30	50	16	11	7	2,5	1,5
50	80	19	13	8	3	2
80	120	22	15	10	4	2,5
120	180	25	18	12	5	3,5
180	250	29	20	14	7	4,5

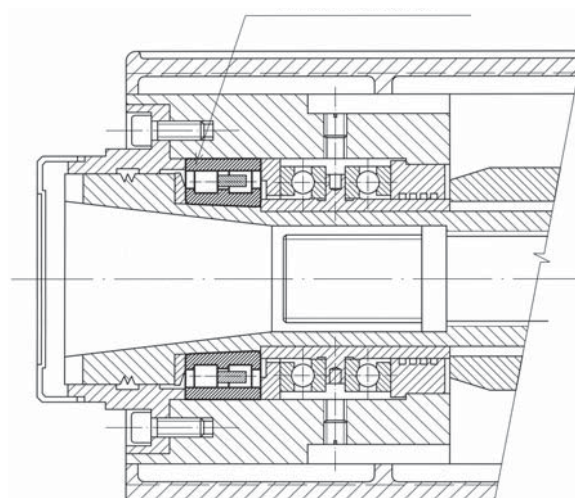
(*) odchýlky - prípustné iba do plusu od menovitého rozmeru

Aplikácie ložísk NN30..K

Ložiská ideálnym spôsobom kombinujú nosnosť, tuhosť a dosiahnuteľné otáčky a sú preto v normálnom prípade prvou voľbou pre uloženie vretna obrábacích strojov na strane pohonu. V obrábacích strojoch sú najviac používané ložiská s kužeľovou dierou, aby bolo u týchto ložísk možné pri montáži ľahko nastaviť definovanú radiálnu vôľu alebo predpätie pomocou posuvu vnútorného krúžku po kuželi vretna.

Uloženie vretna a skrutky obrábacieho stroja:

Ložisko NN 3009 KP51



Symboly veličín a ich význam

d	- menovitý priemer diery
d_1	- menovitý priemer väčšieho teoretického priemeru kužeľovej diery
Δ_{dmp}	- odchýlka stredného priemeru valcovej diery v jednotlivej radiálnej rovine (pre kužeľovú dieru platí Δ_{dmp} pre teoretický priemer diery)
Δ_{d1mp}	- odchýlka stredného väčšieho teoretického priemeru kužeľovej diery
$\Delta_{d3mp} - \Delta_{d2mp}$	- tolerancia kužeľa daná rozdielom medzi skutočnými odchýlkami stredného priemeru kužeľovej diery
V_{dp}	- rozptyl jednotlivého priemeru diery v jednotlivej radiálnej rovine
K_{ia}	- radiálne hádzanie vnútorného krúžku zmontovaného ložiska
S_d	- axiálne hádzanie vonkajšej valcovej plochy k základnému čelu vnútorného krúžku
D	- menovitý vonkajší priemer
Δ_{Dmp}	- odchýlka stredného vonkajšieho priemeru v jednotlivej radiálnej rovine
V_{Dp}	- rozptyl jednotlivého vonkajšieho priemeru v jednotlivej radiálnej rovine
V_{Dmp}	- rozptyl stredného vonkajšieho priemeru
K_{ea}	- radiálne hádzanie vonkajšieho krúžku zmontovaného ložiska
S_D	- úchylka sklonu vonkajšej valcovej plochy k čelu vonkajšieho krúžku
B	- menovitá šírka vnútorného krúžku
Δ_{Bs}	- úchylka jednotlivej šírky vnútorného krúžku
V_{Bs}	- rozptyl jednotlivej šírky vnútorného krúžku
C	- menovitá šírka vonkajšieho krúžku
Δ_{Cs}	- úchylka jednotlivej šírky vonkajšieho krúžku
V_{Cs}	- rozptyl jednotlivej šírky vonkajšieho krúžku

Technical section

Double-row cylindrical roller bearings of NN30 design have two rows of cylindrical rollers guided by ribs on the inner ring. The outer ring is without ribs. The bearing cannot accommodate axial forces, however bearing design enables mutual bearing rings displacement in both directions within particular limits (see parameter "s" in table of bearings in system section).

Double-row cylindrical roller bearings - type NN30K are generally produced with tapered bore, taper 1:12 designated by "K" in suffix (NN30..K). On request also bearings with cylindrical bore can be supplied (NN30). Double-row cylindrical roller bearings are separable. This facilitates mounting and dismounting.

Double-row cylindrical roller bearings are characterized by their high rigidity, narrow build-in area, relatively high limit speed and dynamic load rating. Therefore the bearings are predominantly used for spindle arrangements of machine tools and similar machinery.

Main Dimensions

The main dimensions of double-row cylindrical roller bearings with tapered bore NN30..K correspond to the international dimension standard ISO 15. For special purposes double-row cylindrical roller bearings type NN30..K can be supplied in different dimensions.

Designation

Prefix _____

Basic bearing designation _____

Suffix (additional designation) _____

Incompleteness of bearing _____

Bearing type symbol _____

Wideness series symbol _____

Diameter series symbol _____

Bore number _____

Inner ring bore design _____

Accuracy _____

Radial clearance _____

Bearing rings mutual non-interchangeability _____

Design variation of bearing rings _____

Inner ring bore design

leave the symbol blank - cylindrical bore

K - tapered bore 1:12

Half of tapered angle value :

$$\alpha = 2^\circ 23' 9,4''$$

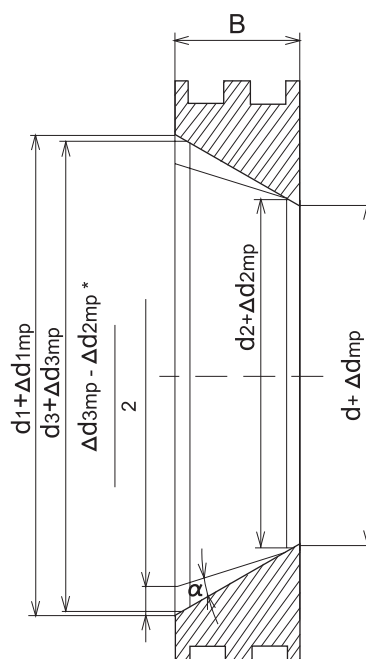
Theoretical maximal diameter
of tapered bore calculation :

$$d_1 = d + \frac{1}{12} B \text{ [mm]}$$

d - nominal bore diameter

B - nominal inner ring width

α - half angle of tapered bore



2. Double-Row Cylindrical Roller Bearings



Technical section

Dimension and running accuracy of double-row cylindrical roller bearings with tapered bore of type NN30..K

Tolerance degree P5

Inner ring		Δ_{dmp}	V_{dp}	$\Delta_{d3mp} - \Delta_{d2mp}$	K_{ia}	S_d	Δ_{Bs}	V_{Bs}
over	to	max	min	max	min	max	max	min
mm								μm
18	30	+9	0	2	+9	0	3	8
30	50	+11	0	3	+11	0	4	8
50	80	+13	0	3	+13	0	4	8
80	120	+15	0	4	+15	0	4,5	9
120	180	+18	0	5	+18	0	6,5	10

Outer ring		Δ_{Dmp}	V_{Dp}	V_{Dmp}	K_{ea}	S_D	Δ_{Cs}	V_{Cs}
over	to	max	min	max	max	max	max	min
mm								μm
50	80	0	-9	3	4,5	7	8	6
80	120	0	-10	4	5	8	9	8
120	150	0	-11	4	5,5	9	10	8
150	180	0	-13	5	6,5	11	10	8
180	250	0	-15	6	7,5	13	11	10

Δ_{Cs} corresponds to Δ_{Bs} of inner ring of the same bearing

Tolerance degree P4

Inner ring		Δ_{dmp}	V_{dp}	$\Delta_{d3mp} - \Delta_{d2mp}$	K_{ia}	S_d	Δ_{Bs}	V_{Bs}
over	to	max	min	max	min	max	max	min
mm								μm
18	30	+6	0	2	+6	0	2,5	4
30	50	+7	0	3	+7	0	3,5	4
50	80	+8	0	3	+8	0	3,5	5
80	120	+10	0	4	+10	0	4	5
120	180	+12	0	5	+12	0	5	6

Outer ring		Δ_{Dmp}	V_{Dp}	V_{Dmp}	K_{ea}	S_D	Δ_{Cs}	V_{Cs}
over	to	max	min	max	max	max	max	min
mm								μm
50	80	0	-7	2	3,5	4,5	4	3
80	120	0	-8	3	4	5,5	5	4
120	150	0	-9	3	4,5	6	5	5
150	180	0	-10	4	5	7	5	5
180	250	0	-11	4	5,5	9	7	7

Δ_{Cs} corresponds to Δ_{Bs} of inner ring of the same bearing



2. Double-Row Cylindrical Roller Bearings

Technical section

Tolerance degree SP

Inner ring		Δ_{dmp} max	V_{dp} max	$\Delta_{d3mp} - \Delta_{d2mp}$ max	K_{ia} max	S_d max	Δ_{Bs} max	V_{Bs} max
d over mm	to μm							
18	30	+9	0	2	+4	0	3	8
30	50	+11	0	3	+6	0	4	8
50	80	+13	0	3	+6	0	4	8
80	120	+15	0	4	+8	0	4,5	9
120	180	+18	0	5	+8	0	6,5	10

Outer ring		Δ_{Dmp} max	V_{Dp} max	V_{Dmp} max	K_{ea} max	S_D max	Δ_{Cs} max	V_{Cs} max
D over mm	to μm							
50	80	0	-9	3	4,5	7	8	
80	120	0	-10	4	5	8	9	
120	150	0	-11	4	5,5	9	10	
150	180	0	-13	5	6,5	11	10	
180	250	0	-15	6	7,5	13	11	

Δ_{Cs} and V_{Cs} correspond to Δ_{Bs} a V_{Bs} of inner ring of the same bearing

Dimension and running accuracy of double-row cylindrical roller bearings with cylindrical bore of type NN30

Tolerance degree P5

Inner ring		Δ_{dmp} min	V_{dp} max	V_{dmp} max	K_{ia} max	S_d max	Δ_{Bs} max	V_{Bs} max
d over mm	to μm							
18	30	0	-6	5	3	4	8	0
30	50	0	-8	6	4	5	8	0
50	80	0	-9	7	5	5	8	0
80	120	0	-10	8	5	6	9	0
120	180	0	-13	10	7	8	10	0

Outer ring		Δ_{Dmp} max	V_{Dp} max	V_{Dmp} max	K_{ea} max	S_D max	Δ_{Cs} max	V_{Cs} max
D over mm	to μm							
50	80	0	-9	7	5	8		6
80	120	0	-10	8	5	10		8
120	150	0	-11	8	6	11		8
150	180	0	-13	10	7	13		8
180	250	0	-15	11	8	15		10

Δ_{Cs} corresponds to Δ_{Bs} of inner ring of the same bearing

2. Double-Row Cylindrical Roller Bearings

Technical section

Tolerance degree P4

Inner ring		Δ_{dmp}	V_{dp}	V_{dmp}	K_{ia}	S_d	Δ_{Bs}	V_{Bs}
d over	to	min	max	max	max	max	max	min
mm		μm						
18	30	0	-5	4	2,5	3	4	0
30	50	0	-6	5	3	4	4	0
50	80	0	-7	5	3,5	4	5	0
80	120	0	-8	6	4	5	5	0
120	180	0	-10	8	5	6	6	0

Outer ring		Δ_{Dmp}	V_{Dp}	V_{Dmp}	K_{ea}	S_D	Δ_{Cs}	V_{Cs}
D over	to	max	min	max	max	max	max	min
mm		μm						
50	80	0	-7	5	3,5	5	4	3
80	120	0	-8	6	4	6	5	4
120	150	0	-9	7	5	7	5	5
150	180	0	-10	8	5	8	5	5
180	250	0	-11	8	6	10	7	7

Δ_{Cs} corresponds to Δ_{Bs} of inner ring of the same bearing

Tolerance class

P5 - higher degree of precision than P6

P4 - higher degree of precision than P5

SP - higher degree of precision for bearings NN30..K

UP - higher degree of precision than SP for bearings NN30..K

Radial clearance

Double-row cylindrical roller bearings of NN30 design are produced with reduced radial clearance C1 and C2 and with mutually non-interchangeable rings C1NA a C2NA. Values of radial clearance of bearings with tapered bore comply with ISO 5753 and are displayed in the table below. These values are valid for non-mounted bearings at measuring load equal zero.

Values of bearing radial clearance :

d over	to	C1NA		C2NA	
		min	max	min	max
mm		μm			
24	30	15	25	25	35
30	40	15	25	25	40
40	50	17	30	30	45
50	65	20	35	35	50
65	80	25	40	40	60
80	100	35	55	45	70
100	120	40	60	50	80
120	140	45	70	60	90
140	160	50	75	65	100

Technical section

C1 - radial clearance less than C2

C2 - radial clearance less than C3

R - reduced tolerance of radial clearance C1 (C2). Clearance range is presented by designation (R20-25)

Special radial clearance - required radial clearance range on customer demand can be supplied

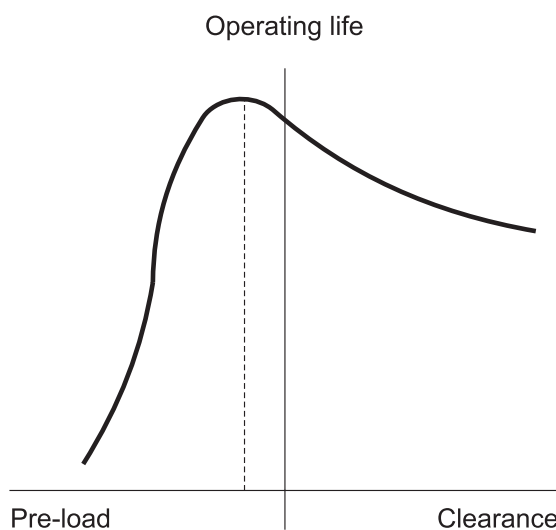
To provide the highest possible accuracy running and rigidity of the spindle system of machine tools the built-in bearings have to show the smallest possible radial clearance or preload. Subject to this the roller bearings with tapered bore are mounted with preload. Adjustment of too high preload can cause a rapid increase in temperature in the arrangement and rapid consumption of lubricant in the bearing, the subsequent deterioration (pitting) and the destruction of the bearing, see chart below. By the contrary the more operational clearance does not decrease bearing life so steep, but perceivable.

Increasing the preload is therefore quite risky step that should be thoroughly verified. There is no general information for setting the optimal preload. We recommend every questionable bearing arrangement to consult with engineers.

It should be noted that the preload means power (or overlap) in arrangement storage while in running. It is usually lower while in movement, than its value during installation. Value of clearance increases by elastic deformation between rolling elements and bearing rings and by reduction of surface roughness peaks Ra of all functional surfaces.

The value of the running clearance depends on speed, bearing load, lubrication and the desired system rigidity. It also depends on the shape accuracy of the counterpart-housing. As small operating clearance or preload is required, the shape accuracy must be very high. At dimensioning must be taken into account thermal conditions of the bearing, which can result in the clearance reduction or preload magnification.

Chart of approximate bearings operating life related to preload / clearance:



Combination of Symbols

P5 + C1 = P51

P5 + C2 = P52

P4 + C1 = P41

P4 + C2 = P42

Bearing rings mutual non-interchangeability

NA - bearings with non-interchangeable rings

Design variation of bearing rings

W33 - groove and lubrication holes in bearing outer ring surface

X - different design, changed mounting proportions

- widened outer ring

- bearing ring mounting chamfer radius change; surface capacity utilization for propping of locating rings

- special bearings marking by customer request

2. Double-Row Cylindrical Roller Bearings



Technical section

Material

Functional parts of bearings NN30..K (inner ring, outer ring, rolling elements) are made of structural steel according standards od DIN 100Cr6 and DIN 100CrMn6.

Cage

Double-row cylindrical roller bearings of NN30..K design are normally produced with a roller elements guided machined brass cage, which is not indicated.

Alignment

Double-row cylindrical roller bearings of NN30..K design are not suitable for arrangements where the alignment of inner and outer bearing rings is not secured. These bearings do not allow deviation.

Radial Equivalent Dynamic Load

$$P_r = F_r$$

Radial Equivalent Static Load

$$P_{or} = F_r$$

Calculations

Theoretical maximal diameter of tapered bore calculation

$$d_1 = d + \frac{1}{12} B \text{ [mm]}$$

d - nominal bore diameter

B - nominal inner ring width

Minimal load value

$$F_{rm} = k_r (6+4n/n_r) \cdot (d_m / 100)^2$$

F_{rm} - minimal load [kN]

k_r - minimal load factor

n - operating speed [r/min]

n_r - limit speed

d_m - middle bearing diameter 0,5.(d+D) [mm]

d_1 - hollow shaft inner diameter

Axial course shift along the hollow cone

$$B_a = e \cdot c / 1000$$

B_a - axial course shift [mm]

e - constant factor dependent on bearing series, middle diameter of bearing seating and inner diameter of hollow cone, when $e = d_j / d_m$, see table below:

c - required reduction of bearing clearance, alternatively preload included [μm]

Proportion of diameters of hollow shaft d_j/d_m	Constant factor "e" for bearings NN30
≤0,2	12,5
0,3	14,5
0,4	15
0,5	16
0,6	17
0,7	18

Technical section

Angle of fastness at pulling on hollow cone using locknuts

360.e.c

$$\gamma = \dots$$

p.1000

γ - required angle of fastness of locknut [°]

e - constant factor dependent on bearing series , middle diameter of bearing seating and inner diameter of hollow cone, when $e = d_j / d_m$, see table above :

c - required reduction of bearing clearance , alternatively preload included [μm]

p - thread twist of shaft nut [mm]

Speed suitability

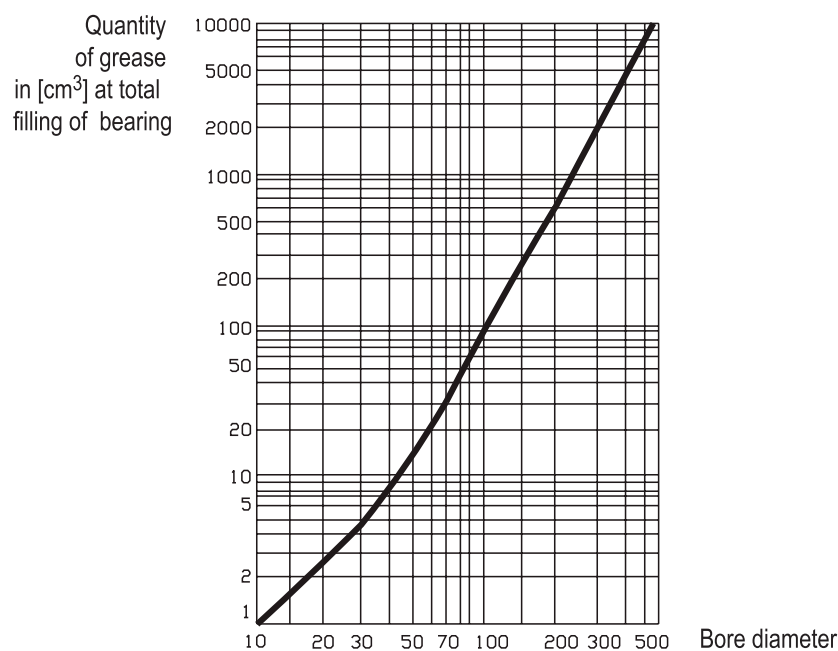
Achievable speed values indicated in the tables of catalogue system section are valid provided that the operating clearance is equates to zero, bearing has no preload and constructional bearing parts have been simultaneously manufactured at recommended accuracy. At higher level of operating clearance eventually preload values or at constructional bearing parts made with worth accuracy is necessary to reduce, eventually to increase indicated speed, by corresponding methods. Too high preload value delimits full utilization of bearing speed limit. Standard clearance eventually preload values for the speed characteristic "n . dm" (speed index) are indicated in the table below.

Standard speed index values for clearance / preload ranges:

Speedindex "n.dm"	Preload (+), Clearance (-)	
mm . min ⁻¹	μm	
< 500 000	+2	+5
500 000 - 1 000 000	+1	+2
> 1 000 000	0	-4

Lubrication

Operating speed should correspond to the quantity and quality of the used grease lubricant. The amount of grease should not exceed 30% of free space in the bearing. Volume of free space is obtained from the accompanying diagram:



In generally, the amount of lubricant should be decreased with increasing speed. Filling space for the bearings used in spindle of machine tools is listed in the table below. For applications of spindles for machine tools is recommended to use a special lubricant for higher speeds, while higher viscosity lubricant for applications with the bearing preload.

2. Double-Row Cylindrical Roller Bearings

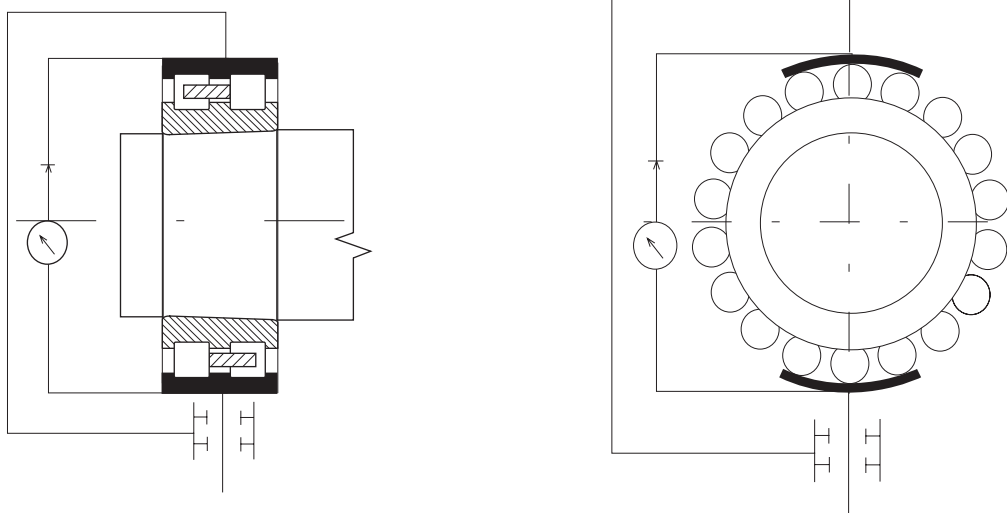
Technical section

Filling space of grease for bearing NN30..K used in spindles of machine tools:

Shaft diameter [mm]	25	30	35	40	45	50	55	60	65	70	75	80	85	90	95	100	105	110	120	130	140	150
NN30 [cm ³]	1	1,1	1,4	1,7	2	2,1	2,6	2,8	3	3,8	4	5	5,2	5,9	6,2	6,6	7,6	8,8	9,6	12	17	20

Setting the radial clearance or preload in bearings

Setting the radial clearance or preload in bearings with tapered bore NN30 is performed by putting of the inner ring right far on the cone. Fast, reliable and very precise adjustment of radial clearance or preload is possible by using of a special rolling elements envelope measuring tool. Mounting of the bearing follows these steps. Firstly the diameter of running way of mounted outer ring should be measured. Than this diameter should be transferred to a special rolling elements envelope measuring tool that will be mounted on the inner ring with rollers. The inner ring is shifted so far to the cone, unless the measuring tool shows a prescribed value of radial clearance or preload. See Fig.:



If the measuring tool of rolling elements envelope is not available, it is necessary to find axial displacement path of the inner ring on the cone according to the required radial clearance or radial preload. In order to set the displacement path, it is necessary to mount the outer ring into housing and inner ring on a cone shaft tight enough and to measure a staying radial clearance of the bearing in arrangement. The axial displacement distance value, which the bearing must be shifted on the cone shaft in, results from detected value of radial clearance, see table.

Change of radial clearance by displacement of inner ring on cone shaft:

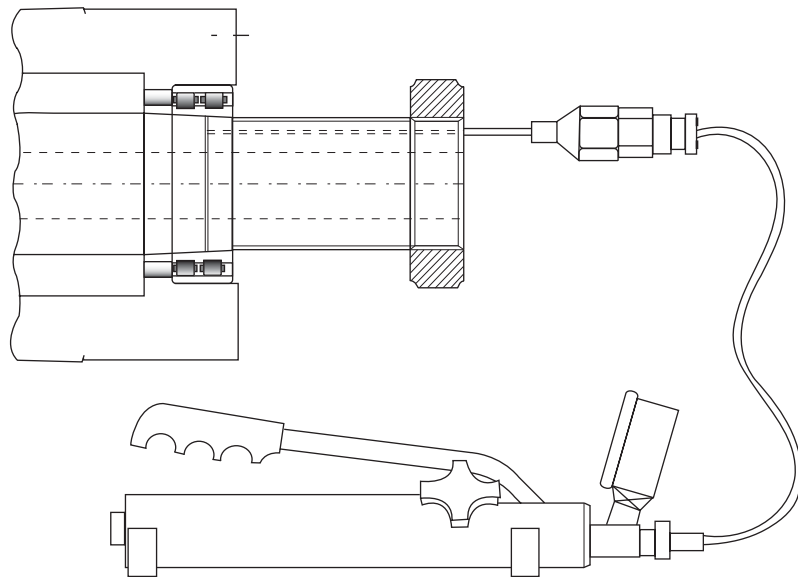
Nominal bore diameter		Axial displacement of inner ring		Radial clearance reduction	
d		cone 1:12			
over	to	min	max	min	max
mm		mm		mm	
24	30	0,30	0,35	0,015	0,020
30	40	0,35	0,40	0,020	0,025
40	50	0,40	0,45	0,025	0,030
50	65	0,45	0,60	0,030	0,040
65	80	0,60	0,70	0,040	0,050
80	100	0,70	0,90	0,045	0,060
100	120	0,75	1,10	0,050	0,070
120	140	1,10	1,40	0,065	0,090

Technical section

Mounting and dismounting of bearings NN30..K

Mounting of bearings NN30 .. K requires a special procedure with respect to the correct bearing radial clearance or preload setting (see chapter " Setting the radial clearance or preload in bearings"). In many cases it requires to provide design proceedings to facilitate or to carry out at all assembly and dismounting of bearings with larger dimensions.

For bearings NN30 .. K with a hole from 80 mm is possible to use methods of oil pressure, at which the high pressured oil is supplied by the so-called oil injectors- pumps between contact area of rings and shafts. Hereby the mounting and dismounting powers at assembly and disassembly of bearings arrangements with tapered bore will be fundamentally reduced and the risk of damage of the contact surfaces of a bearing on a shaft will be reduced or eliminated. In order to use the method of oil pressure a shaft must be equipped with hole and distributing groove, see fig.:



Counterpart - housing design

Related machine parts must meet usual construction practices. While using supporting and distance rings, the build-up dimensions - "D", "d" and radius "r" have to be kept. Rings side faces should be grinded, which should respect perpendicularity or run-out of faces. The rings must be hardened. Taper shaft must be made at least in the same accuracy as tapered bore bearings, see tables.

Recommended limit values of cone shaft surface 1:12 circularity deviation in [μm] :

Bore diameter over mm		Cone shaft surface circularity deviation for tolerance das s				
d to	P0	P6	P5	P4	P3	
-	18	8	5	3	2	1,2
18	30	10	6	4	2,5	1,6
30	50	12	8	5	3	2
50	120	16	10	6	4	2,5
120	250	20	12	8	5	3

2. Double-Row Cylindrical Roller Bearings



Technical section

Recommended limit values of cone shaft surface 1:12 taper ratio deviation in [µm] within the length equal 0,7 of inner ring width :

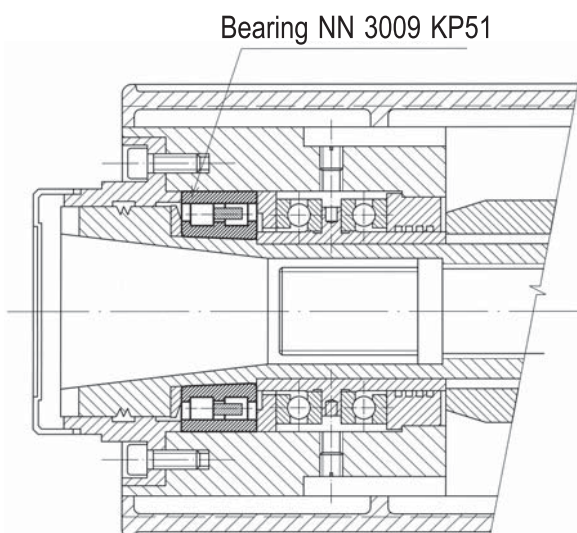
Bore diameter		Tolerance class				
d over mm	to mm	P0 IT6	P6 IT5	P5 IT4	P4 IT2	P2 IT1
		µm	Cone shaft surface taper ratio deviation (*)			
-	18	11	8	5	2	1,2
18	30	13	9	6	2,5	1,5
30	50	16	11	7	2,5	1,5
50	80	19	13	8	3	2
80	120	22	15	10	4	2,5
120	180	25	18	12	5	3,5
180	250	29	20	14	7	4,5

(*) acceptable deviation only within plus values from nominal dimension

Applications of bearings NN30..K

Ideal combination of rigidity, bearing load capacity and achievable speed of bearing rotation make them a perfect match for use on a drive side in machine tools spindle arrangements. To be possible easy to adjust defined radial clearance or preload in the bearing at mounting by sliding of inner ring of the bearing on a cone of a head-spindle, the bearings with tapered bore are mostly used in machine tools arrangements.

The spindle and screw arrangement in a machine tool:





2. Double-Row Cylindrical Roller Bearings

Technical section

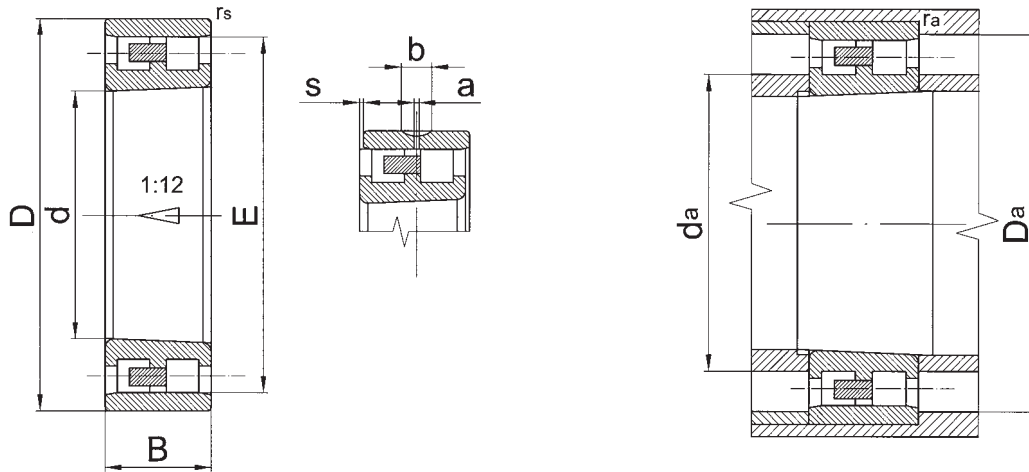
Symbols meaning

d	- nominal bore diameter (smallest theoretical diameter for tapered bore)
d_1	- nominal diameter of larger theoretical tapered bore diameter
Δ_{dmp}	- mean cylindrical bore diameter deviation in single radial plane (for tapered bore Δ_{dmp} is valid for theoretical bore diameter)
Δ_{d1mp}	- deviation of mean larger theoretical diameter of tapered bore
$\Delta_{d3mp} - \Delta_{d2mp}$	- taper tolerance given by difference of real deviation of tapered bore mean diameter
V_{dp}	- single bore diameter variation in single radial plane
K_{ia}	- radial run-out of assembled bearing inner ring
S_d	- flat seat face axial run-out of inner ring towards bore
D	- nominal outer diameter
Δ_{Dmp}	- mean outer diameter deviation in single radial plane
V_{Dp}	- single outer diameter variation in single radial plane
V_{Dmp}	- mean outer diameter variation
K_{ea}	- radial run-out of assembled bearing outer ring
S_D	- run-out of outer cylindrical surface towards outer ring side face
B	- nominal inner ring width
Δ_{Bs}	- inner ring single width deviation
V_{Bs}	- inner ring single width variation
C	- nominal outer ring width
Δ_{Cs}	- outer ring single width deviation
V_{Cs}	- outer ring single width variation

2. Dvojradové valčekové ložiská Double-Row Cylindrical Roller Bearings



Systémová časť
System section



Rozmery Dimensions								Radiálna únosnosť Radial load rating		Medzne otáčky Speed limit		Oznacenie ložiska		Pripojovacie rozmery				Hmotnosť Weight
d	D	B	r_s min	E	a	b	s ¹⁾	dyn. C_r	stat. C_{or}	tuk Grease	olej Oil	Bearing designation	d	d_a	D_a min	D_a max	r_a max	
mm								kN		min^{-1}		mm				kg		
25	47	16,0	1,0	41,3	2,0	3,7	1,0	21,5	23,8	19 000	22 000	NN3005K	25	29	42	43	1,0	0,12
30	55	19,0	1,0	48,5	2,0	3,7	1,0	28,7	32,5	16 000	18 000	NN3006K	30	35	49	50	1,0	0,19
35	62	20,0	1,0	55,0	2,0	3,7	1,0	36,9	43,8	14 000	16 000	NN3007K	35	40	56	57	1,0	0,25
40	68	21,0	1,0	61,0	2,0	3,7	1,0	38,3	44,7	12 600	14 000	NN3008K	40	45	62	63	1,0	0,30
45	75	23,0	1,0	67,5	2,0	3,7	1,0	44,7	53,1	11 000	12 600	NN3009K	45	50	69	70	1,0	0,38
50	80	23,0	1,0	72,5	2,0	3,7	1,2	48,2	59,6	10 600	12 000	NN3010K	50	55	74	75	1,0	0,42
55	90	26,0	1,1	81,0	2,0	3,7	1,2	64,3	81,0	9 400	11 000	NN3011K	55	62	82	84	1,0	0,62
60	95	26,0	1,1	86,1	2,0	3,7	1,2	68,1	89,1	8 900	10 000	NN3012K	60	67	87	88	1,0	0,66
65	100	26,0	1,1	91,0	2,0	3,7	1,2	70,8	98,1	8 400	9 400	NN3013K	65	72	92	93	1,0	0,71
70	110	30,0	1,1	100,0	3,0	5,5	1,2	90,9	128,0	7 500	8 400	NN3014K	70	77	102	103	1,0	1,00
75	115	30,0	1,1	105,0	3,0	5,5	1,2	90,9	128,0	7 100	7 900	NN3015K	75	82	107	108	1,0	1,10
80	125	34,0	1,1	113,0	3,0	5,5	1,4	114,0	162,0	6 700	7 500	NN3016K	80	87	115	118	1,0	1,50
85	130	34,0	1,1	118,0	3,0	5,5	1,4	119,0	178,0	6 300	7 100	NN3017K	85	92	120	123	1,0	1,60
90	140	37,0	1,5	127,0	3,0	5,5	1,4	131,0	192,0	6 000	6 700	NN3018K	90	98	129	132	1,5	2,00
95	145	37,0	1,5	132,0	3,0	5,5	1,4	139,0	207,0	5 600	6 300	NN3019K	95	103	134	137	1,5	2,10
100	150	37,0	1,5	137,0	3,0	5,5	1,5	144,0	224,0	5 300	6 000	NN3020K	100	108	139	142	1,5	2,20
105	160	41,0	2,0	146,0	3,0	5,5	1,5	188,0	282,0	5 000	5 600	NN3021K	105	114	148	151	2,0	2,80
110	170	45,0	2,0	155,0	3,0	5,5	1,5	220,0	329,0	4 700	5 300	NN3022K	110	119	157	161	2,0	3,55
120	180	46,0	2,0	165,0	3,0	5,5	1,5	228,0	355,0	4 500	5 000	NN3024K	120	129	167	171	2,0	3,85
130	200	52,0	2,0	182,0	4,5	8,3	1,5	282,0	447,0	4 000	4 500	NN3026K	130	139	184	191	2,0	5,75
140	210	53,0	2,0	192,0	4,5	8,3	1,5	299,0	482,0	3 800	4 200	NN3028K	140	150	194	200	2,0	6,20
150	225	56,0	2,1	206,0	4,5	8,3	1,5	322,0	521,0	3 500	4 000	NN3030K	150	162	208	213	2,0	7,50

r_s - montážne zaoblenie vonkajšieho krúžku / mounting corner of the outer ring

r_a - montážne zaoblenie protikusu / mounting corner of the counterpart

1) prípustné axiálne posunutie z centralnej polohy / Permissible axial displacement from central position



2. Dvojradové valčekové ložiská Double-Row Cylindrical Roller Bearings

Prevodová tabuľka označenia ložísk / Conversion table of bearing designation:

označenie ložísk bearings designation by AKE	označenie ložísk bearings designation by SKF	označenie ložísk bearings designation by FAG	označenie ložísk bearings designation by NSK
NN3005K	NN3005K	NN3005 AK.M.	NN3005K
NN3006K	NN3006K	NN3006 AK.M.	NN3006K
NN3007K	NN3007K	NN3007 AK.M.	NN3007K
NN3008K	NN3008K	NN3008 AK.M.	NN3008K
NN3009K	NN3009K	NN3009 AK.M.	NN3009K
NN3010K	NN3010K	NN3010 AK.M.	NN3010K
NN3011K	NN3011K	NN3011AK.M.	NN3011K
NN3012K	NN3012K	NN3012 AK.M.	NN3012K
NN3013K	NN3013K	NN3013 AK.M.	NN3013K
NN3014K	NN3014K	NN3014 AK.M.	NN3014K
NN3015K	NN3015K	NN3015 AK.M.	NN3015K
NN3016K	NN3016K	NN3016 AK.M.	NN3016K
NN3017K	NN3017K	NN3017 AK.M.	NN3017K
NN3018K	NN3018K	NN3018 AK.M.	NN3018K
NN3019K	NN3019K	NN3019 AK.M.	NN3019K
NN3020K	NN3020K	NN3020 AK.M.	NN3020K
NN3021K	NN3021K	NN3021 AK.M.	NN3021K
NN3022K	NN3022K	NN3022 AK.M.	NN3022K
NN3024K	NN3024K	NN3024 AK.M.	NN3024K
NN3026K	NN3026K	NN3026 AK.M.	NN3026K
NN3028K	NN3028K	NN3028 AK.M.	NN3028K
NN3030K	NN3030K	NN3030 AK.M.	NN3030K



Autorizovaný predajca
Authorized distributor

